

SERVIÇO PÚBLICO FEDERAL MINISTÉRIO DA EDUCAÇÃO UNIVERSIDADE FEDERAL DE SERGIPE PRÓ-REITORIA DE PÓS-GRADUAÇÃO E PESQUISA PROGRAMA DE PÓS-GRADUAÇÃO EM CIÊNCIAS NATURAIS



Gabrielle Neris Lima

Diversidade e composição das comunidades de liquens crostosos em um gradiente altitudinal no Parque Nacional Serra de Itabaiana – SE.

Gabrielle Neris Lima

Diversidade e composição das comunidades de liquens crostosos em um gradiente altitudinal no Parque Nacional Serra de Itabaiana - SE.

Dissertação de Mestrado apresentada ao Programa de Pós-Graduação em Ciências Naturais da Universidade Federal de Sergipe, como requisito necessário para a obtenção do título de Mestre em Ciências Naturais.

Orientador: Profa. Dra. Marcela Eugenia da Silva Cáceres.

Co-Orientador: Prof. Dr. Marcos Vinicius Meiado.

Itabaiana – SE

2023

FICHA CATALOGRÁFICA ELABORADA PELA BIBLIOTECA PROFESSOR ALBERTO CARVALHO UNIVERSIDADE FEDERAL DE SERGIPE

Lima, Gabrielle Neris

L732d Diversidade e composição das comunidades de liquens crostosos em um gradiente altitudinal no Parque Nacional Serra de Itabaiana - SE. / Gabrielle Neris Lima; orientação: Marcela Eugenia da Silva Cáceres. — Itabaiana, 2023.

74 £; il

Dissertação (Mestrado em Ciências Naturais) – Universidade Federal de Sergipe, 2023.

 Ciências naturais. 2. Líquens. 3. Fungos - Itabaiana. 4. Impacto ambiental I. Cáceres, Marcela Eugenia da Silva. (orient.). II. Título.

CDU 582.29-043.8/.9(813.7)

CRB5/1603



SERVIÇO PÚBLICO FEDERAL MINISTÉRIO DA EDUCAÇÃO UNIVERSIDADE FEDERAL DE SERGIPE CAMPUS PROF. ALBERTO CARVALHO PROGRAMA DE PÓS-GRADUAÇÃO EM CIÊNCIAS NATURAIS (PPGCN)



Ata da 28 Sessão de Defesa Pública de Dissertação de Mestrado do Programa de Pós-Graduação em Ciéncias Naturais da Universidade Federal de Sergipe realizada em 27 de abril de 2023.

Aos vinte e sete dias do mês de abril de dois mil e vinte e très, às nove e trinta horas, foi realizada a Defesa Pública de Dissertação de Mestrado de Gabrielle Neris Lima, na sala de reuniões no 3 NIPPEC, a qual foi intitulada "Diversidade e composição das comunidades de liquens em um gradiente altitudinal no Parque Nacional Serra de Itabaiana". A Banca Examinadora foi constituída pelo(a) Orientador(a), **Prof. Dra. Marcela Eugenia da Silva Caceres** pelo 1º Examinador, **Prof. Dra. Maria de Lourdes Lacerda Buril**, pelo 2º Examinador, **Prof. Dr.** Cristiano Aprigio dos Santos. A sessão pública foi aberta pelo (a) orientador (a) da Defesa de Dissertação que, após comentários, cumprimentou os presentes, apresentou a Banca Examinadora, fez uma breve explanação sobre a natureza do trabalho e passou a palavra ao (á) 10 candidato (a) para a apresentação do seu trabalho. Após a apresentação, o(a) Candidato(a) foi 11 12 então arguido(a) pelos integrantes da Banca Examinadora, iniciando-se pelo(a) 1" Examinador(a), Prof. Dra. Maria de Lourdes Lacerda Burll, que teve trinta minutos para a 13 14 15 arguição, tendo o(a) Candidato(a) igual tempo para resposta. Em seguida, continuou-se com o(a) 2º Examinador(a), Prof. Dr. Cristiano Aprigio dos Santos, o (a) qual também teve trinta minutos para a arguição, tendo o(a) Candidato(a) igual tempo para as respostas. Por fim, o(a) Orientador(a), Prof. Dra. Marcela Eugenia da Silva Caceres, teceu comentários e 17 questionamentos que foram dirimidos pelo(a) Candidato(a). Por último, a Banca Examinadora se reuniu em caráter sigiloso e considerou c(a) candidato(a) APROVADA, na Defesa de 19 Dissertação de Mestrado. Nada mais havendo a tratar, a sessão foi encerrada e a presente ata lavrada, que uma vez aprovada, segue assinada pelo Presidente da mesma.

Prof.Dra. Marcela Eugenia da Silva Caceres
Docu[RifeSistenite]gitalmente

gov.br

MARIA DE LOURDES LACERDA BURIL Data: 27/04/2023 12:34:49-0300 Verifique em https://validar.iti.gov.br

(Examinador (a) 1)

Prof. Dr. Cristiano Aprigio dos Santos

(Examinador (a) 2)

Gabrielle Neris Lima (Mestrando (a))

Av. Ver. Olimpio Grande, s/n - Porto. CEP: 49510-200 Telefune (79) 3432-8237 - Itahaiana/SF. Home Puge: http://www.posgraduaeño.ufs.br/ppgen ppgen/@aendemico.ufs.com.br

AGRADECIMENTOS

A Deus, em primeiro lugar que sempre me deu força e saúde para conduzir minha dissertação.

Aos meus pais, Maria e Manoel, que sempre estiveram ao meu lado nas horas mais difíceis e felizes da minha vida e que nunca mediram esforços para que eu continuasse estudando.

As minhas irmãs, Stefany e Grasielly, que sempre foram uma das minhas maiores apoiadoras.

Aos meus queridos avós, João por todo amor, e Cecília (em memória), que não pode ver o fim dessa etapa, mas sempre me ensinou a batalhar pelos meus sonhos.

A minha prezada orientadora Marcela, que trilhou toda esta caminhada do meu lado, pela dedicação, compreensão e amizade. A meu coorientador, que me estendeu a mão sempre que precisei.

Aos meus amigos, especialmente, Dayane, Eliziane e Riclécia, que acompanharam esses 2 anos de jornada. E aos meus companheiros de laboratório, em especial, Isaías, Lidiane e Allan, pela força, amizade, inúmeras ajudas e compreensão.

SUMÁRIO

1	INTRODUÇÃO	12
2	REFERENCIAL TEÓRICO	16
2.1	Liquens crostosos	16
2.2	Parque Nacional Serra de Itabaiana	17
2.3	Ecologia de comunidades	18
3	OBJETIVOS	20
3.1	Objetivos específicos	20
4	METODOLOGIA	21
4.1	Área de estudo	21
4.2	Coleta e identificação das espécies	21
4.3	Obtenção dos dados ecológicos	24
4.4	Análises estatísticas e ecológicas	24
4.5	Compilação de dados sobre a diversidade de liquens no PARNASI	25
5	RESULTADOS	25
5.1	Composição de espécies	25
5.2	Liquens do Parque Nacional Serra de Itabaiana	32
5.3	Dados estatísticos e ecológicos	53
5.4	Diversidade, riqueza e abundância	56
5.5	Composição de espécies e similaridade das comunidades	60
5.6	Curva de acumulação e extrapolação	61
6	DISCUSSÃO	61
7	CONCLUSÃO	64
	REFERÊNCIAS	66

LISTA DE FIGURAS

Figura 01 -	Desmatamento anual na Mata Atlântica entre 2012 e 2019.	13
Figura 02 -	Área total atingida pelo fogo na Caatinga entre os anos de 2000 e 2019.	14
Figura 03 -	Localização do Parque Nacional Serra de Itabaiana, Sergipe.	21
Figura 04 -	Remoção de talo liquênico do forófito.	22
Figura 05 -	Análise macroscópica do talo liquênico.	23
Figura 06 -	Teste positivo (rosa) com Hidróxido de Potássio (KOH).	23
Figura 07 -	A. Astrothelium cinnamomeum; B. Bactospora jenikii; C. Bathelium madreporiforme; D. Diorygma poitaei; E. Dyplolabia afzellii; F. Glyphis cicatriosa.	29
Figura 08 -	A. Lecanora coronulans; B. Lecanora tropica; C. Lecanactis epileuca; D. Malmidea furfurosa; E. Nigrovothelium tropicum; F. Operographa astraea.	30
Figura 09 -	A. Phyllopsora furfuracea; B. Ramboldia haematites; C. Sarcographa labyrinthica; D. Stirtonia nivea; E. Thalloloma astroideum; F. Trypethelium eluteriae.	31
Figura 10 -	Número de espécies de liquens crostosos presentes em forófitos no Parque Nacional Serra de Itabaiana, Itabaiana (SE) de acordo com a categoria de luminosidade. Dados expressos em valores de média ± intervalo de confiança.	54
Figura 11 -	Número de indivíduos de liquens crostosos presentes em forófitos no Parque Nacional Serra de Itabaiana, Itabaiana (SE) de acordo com a categoria de luminosidade. Dados expressos em valores de média ± intervalo de confiança.	55
Figura 12 -	Relação do padrão de distribuição de espécies e número de indivíduos de liquens presentes em forófitos do Parque Nacional Serra de Itabaiana, de acordo com a elevação (A e B), diâmetro na altura do peito do forófito – DAP (C e D) e luminosidade (E e F).	56
Figura 13 -	Gráfico de abundância absoluta de espécies de liquens crostosos presentes no trabalho.	60
Figura 14 -	Análise de cluster com base na abundância de espécies.	60
Figura 15 -	Curva de acumulação e extrapolação de espécies obtidas no estudo.	61

LISTA DE TABELAS

Tabela 01 -	Espécies de liquens registradas para o Parque Nacional Serra de Itabaiana com respectivo número de amostras coletadas.	26
Tabela 02 -	Lista geral de espécies de liquens registradas no Parque Nacional Serra de Itabaiana, Itabaiana – SE. Em negrito estão as espécies que ainda não haviam sido registradas no parque.	32
Tabela 03 -	Resultado do teste de Fisher (F), graus de liberdade (gl) e índice de significância (p) de Modelos Lineares Generalizados (GLM) avaliando o efeito de variáveis numéricas (elevação e DAP) e categórica (luminosidade) no número de espécies de liquens presentes em forófitos no Parque Nacional Serra de Itabaiana, Itabaiana, Sergipe.	53
Tabela 04 -	Resultado do teste de Fisher (F), graus de liberdade (gl) e índice de significância (p) de Modelos Lineares Generalizados (GLM) avaliando o efeito de variáveis numéricas (elevação e DAP) e categórica (luminosidade) no número de indivíduos de liquens presentes em forófitos no Parque Nacional Serra de Itabaiana, Itabaiana, Sergipe	54
Tabela 05 -	Riqueza total, índice de Shanon (H') e Simpson (D) de cada forófito coletado	57

LISTA DE ABREVIATURAS

DAP – Diâmetro a altura do peito.

GL – Graus de liberdade.

GLM – Modelos Lineares Generalizados.

GPS – Sistema de Posicionamento Global.

IBGE – Instituto Brasileiro de Geografia e Estatística.

ICMBio – Instituto Chico Mendes de Conservação.

MMA – Ministério do Meio Ambiente.

PARNASI – Parque Nacional Serra de Itabaiana.

UC – Unidade de Conservação.

RESUMO

Liquens são o resultado da associação simbiótica entre um micobionte (fungo) e um fotobionte (alga e/ou cianobactéria). Eles desaparecem muito rápido de regiões onde o impacto ambiental é elevado, pois acompanham as alterações temporais da vegetação. O presente trabalho busca estudar a variação da estrutura da comunidade de liquens em termos de composição, riqueza e abundância, em um gradiente altitudinal na trilha principal do Parque Nacional Serra de Itabaiana (PARNASI) e identificar se há mudanças nas comunidades liquênicas associadas à altitude no parque. Foram realizadas duas coletas. Para a remoção dos talos liquênicos do córtex dos forófitos hospedeiros selecionados, foram utilizados faca e martelo. A identificação das espécies coletadas foi realizada de acordo com bibliografias específicas. Para as análises estatísticas foram feitas análises com teste de Fischer (F), graus de liberdade (gl), Modelo Linear Generalizado (GLM), Shannon (H') e Simpson (D), além de um cluster. Os índices de diversidade não diferiram significantemente entre os indivíduos coletados. Os dados estatísticos apresentados mostraram que a luminosidade é um fator síntese para essa área, visto que o platô não foi atingido nem extrapolado e a relação do diâmetro e altitude inferidos estão acima da margem de erro. Assim, o objetivo central do trabalho foi verificar se a altitude influenciava na composição das espécies, o que não pode ser verificado com clareza, mas que apresenta uma tendência, por isso, mais estudos se fazem necessários.

Palavras- chave: Fungos liquenizados; altitude; luminosidade; distribuição; riqueza.

ABSTRACT

Lichens are the result of the symbiotic association between a mycobiont (fungus) and a photobiont (algae and/or cyanobacteria). They disappear very quickly from regions where the environmental impact is high, as they accompany the temporal alterations of the vegetation. The present work seeks to study the variation of the structure of the lichen community in terms of composition, richness and abundance, in an altitudinal gradient in the main trail of the Parque Nacional Serra de Itabaiana (PARNASI) and to identify if there are changes in the lichen communities associated with altitude in the park. Two collections were carried out. To remove lichen thalli from the cortex of selected host phorophytes, a knife and hammer were used. The identification of the collected species was carried out according to specific bibliographies. For statistical analyses, analyzes were performed with Fischer's test (F), degrees of freedom (gl), Generalized Linear Model (GLM), Shannon (H') and Simpson (D), in addition to a cluster. Diversity indices did not differ significantly between individuals collected. The Shannon and Simpson diversity indices did not differ significantly among the collected individuals. Thus, the main objective of the work was to verify if the altitude influenced the composition of the species, which cannot be clearly verified, but which presents a tendency, therefore, more studies are necessary.

Keywords: Lichenized fungi; altitude; luminosity; distribution; wealth.

1 INTRODUÇÃO

Liquens são o resultado da associação simbiótica entre um micobionte, que pode ser um ou mais fungos, e um fotobionte, que pode ser uma alga e/ou cianobactéria (WEBSTER; WEBER, 2007). Este processo de liquenização é encontrado tanto em fungos do Filo Ascomycota quanto em Basidiomycota (HIBBETT et al., 2007, STAJICK et al., 2009). Os liquens estão distribuídos por todo o globo, habitam desde locais úmidos (como as florestas) até mesmo em locais mais secos (como os desertos). Eles desaparecem muito rápido de regiões onde o impacto ambiental é muito elevado, pois acompanham as alterações temporais da vegetação (GAUSLAA et al., 2007) e a reconstituição da vegetação e da liquenobiota, quando possível, é gradual e lenta (MARCELLI, 1997). Além disso, são importantes para o processo de sucessão dos epífitos no tronco de vegetais superiores (CALLAWAY et al., 2001).

Dentre as funções vitais para a natureza, os liquens atuam como importantes bioindicadores de poluição, permitem a colonização de novos ambientes - já que estes organismos degradam rochas e auxiliam na formação do solo - servem de alimento para animais, principalmente em locais extremos, entre outros (SILVA; MALTA, 2016). Pouco se sabe ainda sobre a organização funcional de comunidades de liquens, mas os estudos já apresentados mostram que alguns atributos funcionais de liquens podem ser indicativos promissores das condições ambientais (LEWIS; ELLIS, 2010, MARINI; NASCIMBENE; NIMIS, 2011, GIORDANI *et al.*, 2012).

A Mata Atlântica é um bioma extremamente rico em espécies, com mais de 15.700 espécies de plantas registradas no bioma. Esse número corresponde a cerca de 5% da flora mundial, porém se destaca devido ao alto número de endemismo, no qual estima-se que aproximadamente 946 espécies de vertebrados e 7.155 espécies de plantas vasculares sejam endêmicas desse bioma (PAGLIA; PINTO, 2010). Ou seja, essas espécies não ocorrem em nenhum outro local do planeta, o que a torna especial. O Bioma Mata Atlântica é também o motor econômico do Brasil, pois abriga mais de 100 milhões de brasileiros, contribuindo com cerca de 70% do Produto Interno Bruto (PIB) (IBGE, 2020).

Como um *hotspot* de diversidade, importância econômica e ambiental, a proteção da Mata Atlântica se torna a maior garantia para a estabilidade geológica, evitando assim as grandes catástrofes que já ocorreram onde a floresta foi suprimida, resultando em

consequências econômicas e sociais extremamente graves (JOLY; METZGER; TABARELLI, 2014, MARTINELLI; MORAES, 2013, SCARANO; CEOTTO, 2015). Por isso, foi criada a Lei nº 11.428 (Lei da Mata Atlântica), de 2006, que dispõe sobre a utilização e proteção da vegetação nativa do Bioma Mata Atlântica, e dá outras providências. Essa lei é justificada pelo fato de a Mata Atlântica contemplar diferentes formações florestais e ecossistemas associados os quais foram detalhados pelo Decreto nº 6.660, de 2008, e delimitados no "Mapa da Área de Aplicação da Lei nº 11.428", de 2006, elaborado e publicado pelo IBGE. A perda da biodiversidade é um dos principais problemas ambientais do planeta. Após cinco séculos de ocupação humana, temos uma Mata Atlântica em sua maioria constituída de arquipélagos de fragmentos florestais pequenos, cercados pela antropização, como pastagens, culturas agrícolas e áreas urbanas (JOLY; METZGER; TABARELLI, 2014). No entanto, a atividade ilegal ainda permanece ativa como mostra a (Figura 01), e cada hectare perdido representa mais uma preocupante perda de vegetação (KFOURI; GARCIA, 2021).

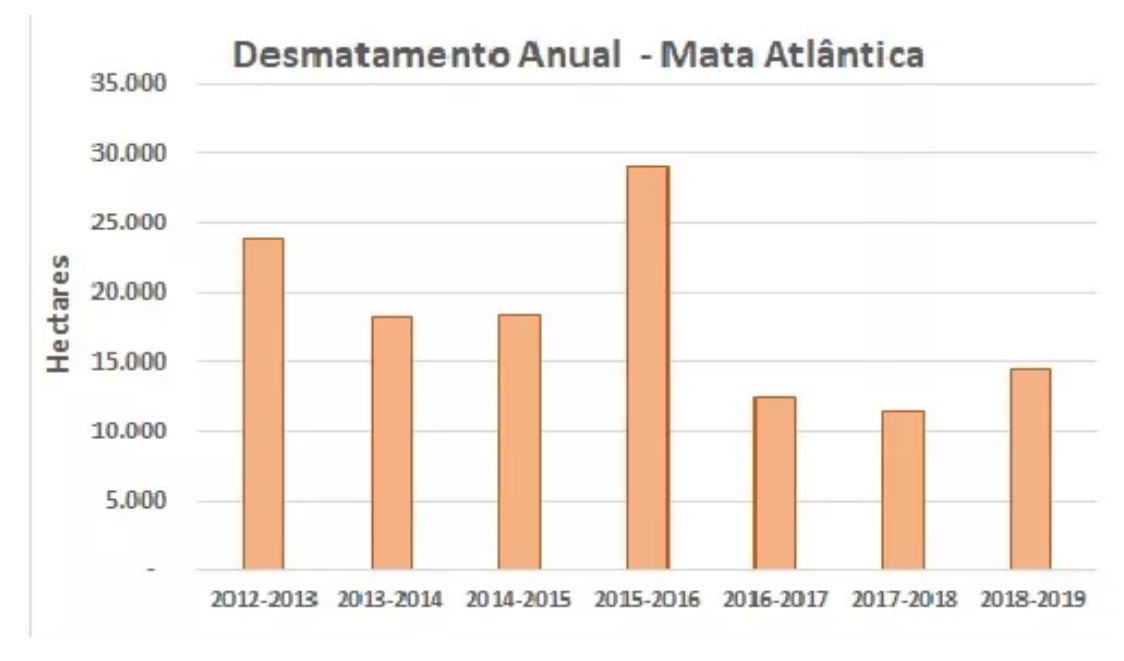


Figura 01. Desmatamento anual na Mata Atlântica entre 2012 e 2019.

Fonte: TNC Brasil a partir de dados da SOS Mata Atlântica e INPE.

Recentemente, a porcentagem de cobertura vegetal da Mata Atlântica é dividida da seguinte maneira: 30% encontra-se em áreas protegidas, sendo 9% estritamente protegidas e 21% apenas com uso sustentável e os 70% restantes encontram-se com outras formas de proteção com base em locais legislados pelo Brasil (BRASIL, 2012, 2006). Por isso, quanto antes podermos estudar as áreas de risco e conscientizar as pessoas a preservá-las, melhor será o destino destes e de outros organismos (ICMBio, 2016).

Com relação à Caatinga, oficialmente é classificada como Savana Estépica (VELOSO *et al.*, 1991). A Caatinga é caracterizada por possuir longos períodos de estiagem, apresentando altas temperaturas, baixa umidade e ser extremamente afetada pelos incêndios originados por atividades humanas (MARIANO *et al.*, 2018). Além disso, é um bioma exclusivo do território brasileiro e se destaca pela grande diversidade e por abrigar espécies endêmicas (ICMBIO, 2016).

De acordo com o Instituto Brasileiro de Geografia Estatística (IBGE, 2004a), a Caatinga sobrepõe-se em grande parte ao domínio semiárido, a Caatinga abrange 844.453 km², o que equivale a 11% do território nacional. Grande parte dos remanescentes de cobertura encontram-se já antropizadas em diferentes graus, variando de um local para outro, devido aos níveis de exploração e criação de pastagens que ali se encontram (MARIANO *et al.*, 2018).

A Caatinga é um dos biomas mais atingidos pela ação antrópica e fenômenos naturais ao longo dos tempos, e essa degradação começou desde o período colonial. Vieira (2021), estudou a dinâmica de queimadas na Caatinga nos anos de 2000 a 2019 e percebeu que no ano de 2000, a área atingida por fogo correspondia à aproximadamente 0,05% da área total da Caatinga, cerca de 407, 84 km². Já no ano de 2019, as áreas avançaram para 0,73% da área total do bioma, um total de 6.201,90 km² (Figura 2). Assim, houve anos com maior frequência e área atingida por fogo, bem como anos de menores frequência e área queimada ("ANÁLISE ESPAÇO-TEMPORAL DO FOGO NO BIOMA CAATINGA Greicielle dos Santos Vieira Brasília, 07 de maio de 2021", [s.d.]).

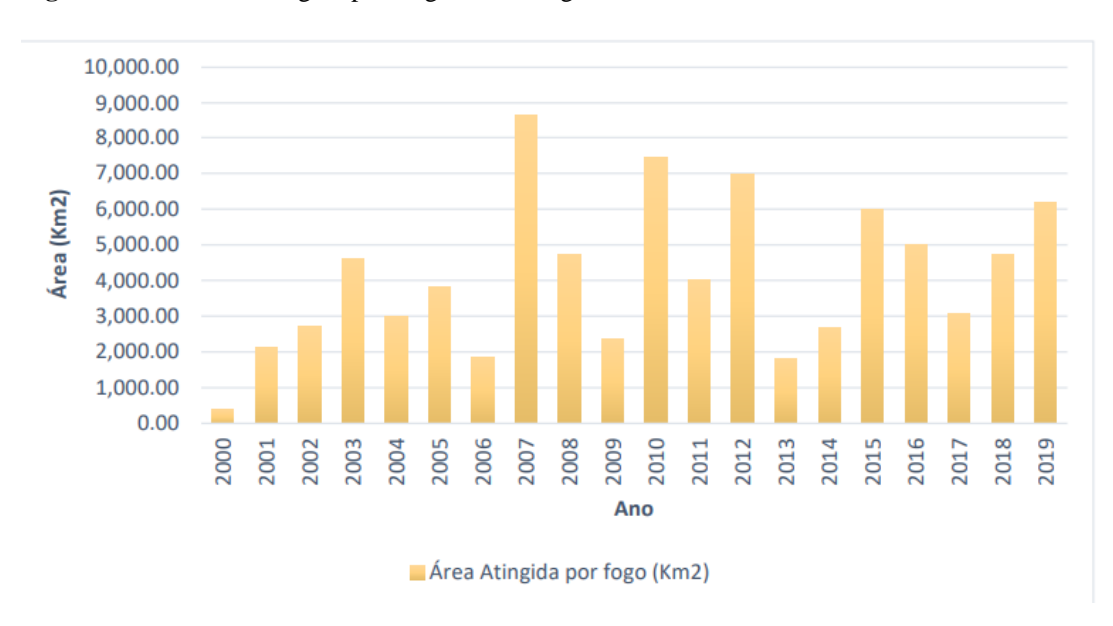


Figura 02. Área total atingida pelo fogo na Caatinga entre os anos de 2000 e 2019.

Fonte: Vieira, 2021.

Sabendo-se que, quanto mais distantes do nível do mar, menor será a quantidade de espécies abrigadas no local e que o inverso também é verdadeiro, compreende-se que um passo fundamental de entender os processos que regulam a diversidade de espécies em diferentes escalas é a descrição de padrões na variação da riqueza de espécies ao longo dos gradientes ecológicos.

Os gradientes altitudinais refletem as variações dos gradientes de umidade, temperatura e radiação (KORNER, 2007), e os liquens que respondem a estes e outros fatores de suma importância (LEHMKUHL, 2004, COSTAS, 2018), sendo a altitude um fator que afeta diretamente a riqueza, composição e diversidade na estrutura das comunidades liquênicas (RODRIGUES *et al.*, 2017, COSTAS, 2018).

Visto a grande importância e relevância da preservação desses biomas, o presente trabalho busca caracterizar a variação da estrutura da comunidade de liquens em termos de composição, riqueza e abundância em um gradiente altitudinal da trilha principal do Parque Nacional Serra de Itabaiana e identificar quais são as mudanças nas comunidades liquênicas, correlacionando-as com fatores bióticos e abióticos como luminosidade, elevação e diâmetro na altura do peito (DAP).

2 REFERENCIAL TEÓRICO

2.1 Liquens crostosos

Conhecidos mundialmente por apresentarem ampla distribuição geográfica, os liquens são organismos simbióticos que mantêm sua estrutura igual (uniforme) ao longo do tempo e apresentam muita sensibilidade às alterações ambientais, principalmente às de origem antrópica, o que nos permite avaliar a qualidade ambiental através do mapeamento das espécies encontradas na área (ASTA *et al.*, 2002, KÄFFER *et al.*, 2012).

Os liquens se diferenciam em grupos de acordo com características específicas, podendo ser classificados em: crostosos, foliosos, fruticosos, esquamulosos e microfoliosos. Os crostosos apresentam aderência ao substrato, podendo ter seu talo totalmente imerso no substrato. Os esquamulosos possuem o talo composto por pequenas escamas que crescem agregadas ou espalhadas na fenda da casca das árvores. Os foliosos e microfoliosos apresentam estrutural laminar e dorsiventral e geralmente se aderem por vários pontos da região inferior. O talo dos fruticosos são cilíndricos ou achatados, em sua maioria são ramificados, crescendo pendente em rochas, galhos de árvores ou troncos (HALE, 1983).

Cerca de 75% dos liquens possuem talos crostosos (AHMADJIAN, 1993). Os liquens crostosos, não possuem córtex inferior e se fixam no substrato por meio das hifas da medula presentes na região inferior (NASH, 1996, MARCELLI, 2006). Liquens crostosos apresentam alta adaptabilidade as variadas condições encontradas nos espaços onde estão presentes e em regiões tropicais esses organismos são abundantes (LAKATOS; RASCHER; BUDEL, 2006, PARDOW; HARTARD; LAKATOS, 2010). Porém, o crescimento desses liquens é muito lento, se comparado aos foliosos, principalmente em altas latitudes e altitudes (MARCELLI, 2006).

Processos de destruição, desmatamento excessivo dos habitats naturais, em consequência das ações humanas na paisagem, tem causado grandes alterações nos padrões ecológicos do ambiente (ANDRADE, 2015). Essas alterações, conhecidas como fragmentações de habitats, afetam tanto a configuração espacial quanto a extensão total dos habitats disponíveis para as espécies (SAUNDERS; HOBBS; MARGULES, 1991, ANDRADE, 2015).

No Parque Nacional Serra de Itabaiana, a grande maioria das espécies registradas e que ocorre no local é de crescimento crostoso (CáÁCERES; LÜCKING; RAMBOLD, 2007). Os trabalhos realizados nas áreas de Mata Atlântica e Caatinga no Nordeste

brasileiro, possibilitaram a coleta de espécies novas como em Xavier *et al.* (2014), a descrição de aspectos taxonômicos, ecológicos e filogenéticos como em Andrade (2020), dentre outros fatores importantes para diferentes grupos e para a ecologia como um todo.

2.2 Parque Nacional Serra de Itabaiana

O Parque Nacional Serra de Itabaiana (PARNASI) (Figura 1), criado em 15 de junho de 2005, é uma área de unidade de conservação como estação ecoógica de proteção integral, com uso restrito à preservação, à pesquisa e à educação ambiental, administrada pelo Instituto Chico Mendes de Biodiversidade (ICMBio). Situado entre os municípios de Itabaiana, Areia Branca, Campo do Brito, Itaporanga d'Ajuda, Laranjeiras e Malhador, ocupa uma área de aproximadamente 8.024,79 hectares. O PARNASI tem um relevo predominantemente formado por elevações e escarpas, vales onde surgem as nascentes, variando entre 60 e 659 metros de altitude, onde se destacam as três Serras do Parque: Comprida, Cajueiro e de Itabaiana, além de uma superfície mais baixa, conhecida como Mata do Cafuz (ICMBio, 2016).

Quanto a caracterização dos fatores bióticos e abióticos, o PARNASI apresenta segundo a classificação de Köppen-Geiger clima As' (tipo tropical úmido, litorâneo, oceânico, com chuvas de inverno antecipadas para o outono), com baixa precipitação no verão (Pmín< 60mm no verão) (KOTTEK *et al.*, 2006), temperaturas anuais acima de 18°C, ausência de inverno pronunciado e grande precipitação anual, bem como ocorrência de chuvas nos meses de inverno. O PARNASI possui muitas nascentes, sendo mais de cem identificadas, e está situado no divisor de águas das bacias do rio Sergipe, a leste, e a do rio Vaza Barris a oeste, onde 76% da sua rede de drenagem corre para a primeira bacia e 24% para a segunda (ICMBio, 2016)

O PARNASI se situa em uma zona de transição entre os domínios morfoclimáticos dos mares de morros e o das depressões interplanálticas do semiárido do Nordeste (AB'SABER, 1998, DANTAS, 2008), causando a diferença de vegetações e biomas presentes na região. Em relação aos solos do PARNASI, no geral, são rasos na região de escarpa e topo das serras, agrupados nos tipos Neossolos, Argissolos e Planossolos, caracterizados por terem limitações relacionadas aos fatores nutricionais, indicando pouco significado para a ocupação com atividades da agropecuária (SANTOS *et al.*, 2013).

2.3 Ecologia de comunidades

Desde os primórdios, os pesquisadores da Ecologia tentam elucidar os processos ecológicos e os mecanismos responsáveis pelo funcionamento das comunidades e os padrões de distribuição das espécies (PAVOINE; BONSALL, 2011).

Dado o avanço e a consolidação do conhecimento florístico, muitas pesquisas passaram a realizar investigações sobre as mudanças na composição e na riqueza de espécies entre diferentes comunidades (GENTRY, 1988, LIEBERMAN *et al.*, 1996), buscando explicar as causas da variação da diversidade vegetal ao longo de gradientes ambientais (KÖRNER, 2018, LAIOLO; PATO; OBESO, 2018).

Vários fatores ecológicos são responsáveis por influenciar a riqueza e a composição de espécies nas comunidades naturais (WILLIG; BLOCH, 2006). Dentre os fatores, a altitude mostra ser uma das mais relevantes, já que influencia diretamente nas variações de substrato, declividade, quantidade de luz solar, disponibilidade de água e nutrientes, e na topografia, o que ocasiona a variação do surgimento de microhabitats em pequenas distâncias; por isso regiões montanhosas acabam tendo uma grande diversidade de espécies (MOREIRA, 2017).

Mccain e Grytnes (2010) chama atenção em seu estudo sobre as implicações da variação altitudinal sobre a riqueza de espécies, tornando-se um dos trabalhos mais conhecidos sobre o tema, mesmo não havendo um consenso sobre como ocorre a alteração da distribuição e riqueza de espécies quando relacionado à variação altitudinal (MCCAIN; GRYTNES, 2010, GRAHAM et al., 2014). Estudos têm se aprofundado na última década e com base na premissa inicial de Whittaker (1973), há a indicação de que o padrão mais decorrente é o decréscimo da riqueza na medida em que ocorre a elevação da altitude local, padrão conhecido como monotômico. Porém, outras análises realizadas com plantas, invertebrados e vertebrados, demonstraram que existe um pico de diversidade em elevações intermediárias, ou que a variação da riqueza de espécies é quase horizontal até certa altitude antes de declinar. Esses últimos modelos, parecem ser mais comuns do que a premissa que há declínio linear do número de espécies à medida que a altitude se eleva (RAHBEK, 1995; ALMEIDA-NETO et al., 2006).

Os dois padrões vêm sendo descritos e discutidos de maneira ampla ao longo de gradientes verticais de variação de riqueza de espécies, nas Florestas Tropicais, levando a uma falta de consenso dos principais fatores que seriam responsáveis pela condução das diferenças encontradas nos estudos (RAHBECK, 2004, MCCAIN; GRYTNES, 2010, SANDERS; RAHBECK, 2012).

Para Nogués-Bravo *et al.*, (2008), existem dois grandes fatores que geram diferenças entre padrões de variação de riqueza em gradientes altitudinais: a escala de estudo e os impactos por atividade humana. Ambos partiriam de uma escala regional para escalas menores de estudo, fazendo o padrão monotômico de variação da diversidade se alterar a um padrão unimodal-parabólico (curva em formato de sino).

Entretanto, para compreendermos a variação na distribuição e diversidade de espécies ao longo de gradientes abióticos, a diversidade funcional deve ser calculada por meio dos atributos das espécies relacionadas ao funcionamento das comunidades (PETCHEY; GASTON, 2006), melhorando a compreensão das possíveis respostas das comunidades às mudanças ambientais (RICOTTA, 2005; GERHOLD *et al.*, 2015).

Os estudos focados em atributos funcionais e gradientes tem permitido o avanço no conhecimento da ecologia de comunidades; como é o caso do monitoramento baseado nos grupos funcionais de liquens, que permitem visualizar as mudanças ocorridas nos ecossistemas. Por apresentarem sensibilidade as variações no clima e na perturbação humana, os grupos de liquens que são vistos no local atuam como marcadores, os quais vão marcar a área agindo como um fator de alto/baixo impacto no ambiente (PINHO, 2019).

Nesse propósito, os gradientes de elevação podem ser usados como "experimentos naturais", testando respostas evolutivas e ecológicas influenciadas pelas variáveis ambientais (GRAHAM *et al.*, 2014, KÖRNER, 2018). Assim, correlacionando com variações de diversos parâmetros, a altitude é vista como um fator importante no processo de substituição de espécies ao decorrer do gradiente, tornando-se influente no estabelecimento e crescimento dos indivíduos, esse comportamento foi descrito por Whittaker (1973) como complex gradiente factor (fator de gradientes complexos).

Então, entender o que influencia e como ocorre o processo de substituição de espécies no gradiente altitudinal pode ajudar a entender a sensibilidade dos sistemas ecológicos as mudanças ambientais (FITZPATRICK *et al.*, 2013), e também dos organismos envolvidos. Além disso, a troca de espécies, de um lugar para o outro, costuma se relacionar com fatores que promovem o endemismo das espécies em consequência das características do habitat (QIAN; RICLEFS; WHITE, 2004; BASELGA, 2009). Já, o ganho ou perda de espécies entre um lugar e outro, é resultante do aninhamento, que se relaciona a fatores ambientais causando uma desagregação das comunidades (GASTON; BLACKBURN, 2000; BASELGA, 2009).

3 OBJETIVOS

Objetivo Geral: Caracterizar como as comunidades de liquens do PARNASI se comportam ao longo do gradiente altitudinal.

3.1 Objetivos específicos:

- ➤ Realizar um levantamento da micota liquenizada do Parque Nacional Serra de Itabaiana ao longo de um gradiente altitudinal;
- ➤ Avaliar a riqueza e composição de espécies de liquens ao longo do gradiente altitudinal;
- ➤ Realizar uma compilação de dados de espécies de liquens já registradas para o PARNASI, para uma lista de espécies atualizadas.

4 METODOLOGIA

4.1 Área de Estudo

O presente estudo foi conduzido na trilha principal do Parque Nacional Serra de Itabaiana (Figura 03), sendo uma área de remanescentes de Mata Atlântica como principal vegetação, que entra em transição com a Caatinga, e fica localizada nos municípios de Areia Branca, Campo do Brito, Itaporanga d'Ajuda, Laranjeiras, Malhador e Itabaiana, estado de Sergipe.

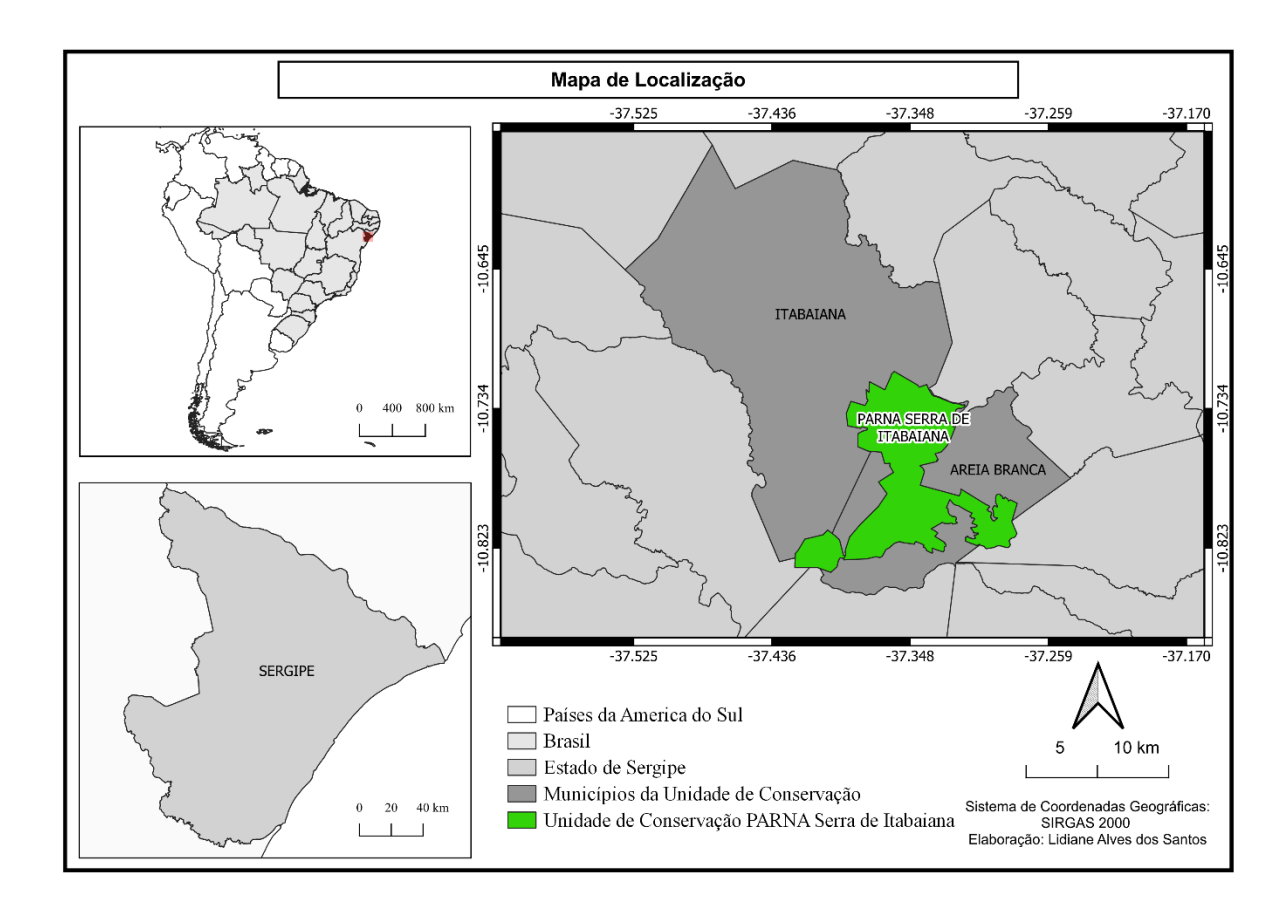


Figura 03. Localização do Parque Nacional Serra de Itabaiana, Sergipe.

4.2 Coleta e identificação das espécies

Inicialmente foram feitas as coletas de fungos liquenizados corticícolas crostosos na trilha principal do PARNASI, com a primeira expedição ocorrida em abril de 2022 e a segunda expedição em setembro de 2022. Para a amostragem das comunidades de liquens, selecionamos forófitos aos longo de todo gradiente a fim de criar um *continuum* elevacional. Foram selecionados forófitos com uma distância média de 50 metros uns dos outros, enumerados os da primeira coleta de 1 a 60, e de 61 a 120 os da segunda coleta,

sendo sorteados 40 forófitos de cada expedição para coleta. Foi observada a riqueza e quantidade de liquens apresentadas do chão até 150cm de altura e foi retirada a medida da circunferência (DAP) do forófito. Assim, foram coletadas amostras de 80 árvores, resultando em 159 amostras na primeira coleta e 100 na segunda coleta, totalizando 259 amostras. Em cada coleta foram observadas as características vegetacionais, morfotipos liquênicos e o comportamento das comunidades de liquens presentes na área (Adaptada de CÁCERES; LÜCKING; RAMBOLD, 2007).

Para a remoção dos talos liquênicos do córtex dos forófitos selecionados, foram utilizados faca (Figura 2) e quando necessário martelo. As amostras foram acondicionadas em saco de papel *kraft* para transporte até o laboratório. Para a confecção das exsicatas, cada amostra foi colada em papel cartão, no qual foram registrados data de coleta, nome da espécie, local de coleta e número do forófito seguindo a padronização do modelo de Cáceres, Lücking e Rambold (2007).



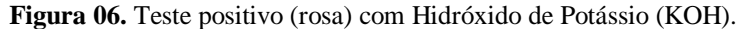
Figura 04. Remoção de talo liquênico do forófito.

Para a identificação dos espécimes coletados, foram observadas as características externas como cor, forma e superfície do talo, presença, tipo e cor da margem apotecial e do disco, tipos de peritécios (agrupados ou solitários) e coloração (Figura 05). Posteriormente, forão feitas análises das características internas (microscópicas) como cor, septação e tamanho dos esporos, estrutura das hifas e do himênio, e testes de

coloração com Hidróxido de Potássio (KOH 10%) (Figura 06), luz ultravioleta (UV) e Iodo (lugol 2%). A identificação das espécies coletadas foi realizada de acordo com bibliografias específicas, como Cáceres, Lücking e Rambold (2007), Lücking, Archer, Aptroot, (2009), entre outras; e a nomenclatura foi atualizada através das bases de dados on-line Index Fungorum (http://www.indexfungorum.org/), e Mycobank (http://www.mycobank.org/). Por fim, coleções de referência foram depositadas nos herbários ISE (Universidade Federal de Sergipe).



Figura 05. Análise macroscópica do talo liquênico.





4.3 Obtenção dos dados ecológicos

Os seguintes dados ecológicos foram obtidos de cada forófito selecionado para a coleta de liquens: 1. altitude em metros da localização; 2. diâmetro à altura do peito (DAP) em centímetros; e 3. intensidade da luz solar (luminosidade), relatadas através das observações ambientais, como presença/ausência de dossel e sua abertura quando

presente, além de fotografias registradas nas coletas. A variação média entre os pontos de coletam ficou entre 30 a 50 metros.

A altitude que foi aferida em metros e dividida em baixa (150 – 179m), média (180 – 280m) e alta (281 – 402m) e o DAP que foi aferido em centímetros, ambos são dados ecológicos numéricos, porém a luminosidade foi distribuída nas categorias baixa (presença de dossel fechado), média (dossel semiaberto ou aberto) e alta (ausência de dossel). Essa padronização foi uma escolha baseada na altitude do local e nas presenças vegetacionais, seguindo adaptações do método de coleta de Cáceres, Lücking e Rambold (2007).

A altitude foi aferida através do GPS em cada forófito amostrado e também nos diferentes pontos, o percurso trouxe dados irregulares, por exemplo, o ponto 7 apresentou altitude de 190 metros, enquanto que o ponto 6 (ponto anterior) estava a 214 metros. O DAP foi aferido com uma trena ao redor de cada forófito, variando de 5 à 106cm, uma variação irregular. Já a luminosidade foi medida através da presença/ausência de dossel e da abertura dele, ou seja, foi descrita através da visão local no momento da coleta, divididas em baixa (dossel fechado), média (dossel semiaberto ou aberto). Assim, foram aferidos no total, 80 pontos.

4.4 Análises estatísticas e ecológicas

Os dados ecológicos foram analisados com o auxílio do software Bio Estat versão 5.3, levando em consideração as duas visitas feita ao PARNASI.

Para as análises estatísticas, foi utilizado o Modelo Linear Generalizado (GLM) para a relação determinística entre as variáveis (resposta e preditora) e o componente aleatório dos resíduos (distribuição dos erros). Fez-se o uso de variáveis categóricas e numéricas, adotando o critério de significância, caso o resultado seja de no máximo 5% de erro (p-valor < 0,5%) (NELDER; WEDDERBURN, 1972).

O teste de Fisher foi introduzido para determinar se a variabilidade entre as médias do grupo é maior que a variabilidade das observações dentro dos grupos. Para calcular o teste de Fisher, fez-se a tabulação dos dados analisando primeiro a relação entre o número de espécies (riqueza) e as variáveis DAP, luminosidade e altitude e em seguida, a relação entre o número de indivíduos ou espécime (abundância) e as variáveis DAP, luminosidade e altitude, em tabelas de 2x2 (uma tabela para cada variável). Além disso, foram observados os valores do número de espécies e de indivíduos em relação a

luminosidade (quantidade de luz), onde foram produzidos gráficos mostrando esses valores, para entender o padrão da liquenobiota (KREBS, 1999). Após todos esses dados serem registrados, foi possível entender e avaliar a riqueza e composição de espécies de liquens ao longo do gradiente altitudinal.

Análises adicionais foram obtidas com o auxílio do software R v.4.1.0 (R Core Team, 2021) utilizando os seguintes pacotes: *dplyr, car, rstatix, lmtest, QuantPsyc, psych, ggplot2, ggpmisc* e *vegan* (ZEILEIS; HOTHORN, 2002, WICKHAM, 2016, OKSANEN *et al.*, 2018, JOHN FOX; SANFORD, 2019, KASSAMBARA, 2021, REVELLE, 2021, APHALO; FLETCHER, 2022, WEISBERG WICKHAM *et al.*, 2023). Além disso, foi observado o valor de abundância total, obtido através das coletas no presente trabalho, apresentado através de um gráfico de barras (OKSANEN *et al.*, 2018). A partir da técnica de agrupamento, com o objetivo de observar o padrão de distribuição e composição da área estudada, foi realizado a análise e construção de um cluster com o pacote "*cluster*" (MAECHLER *et al.*, 2021). Por fim, uma curva de acumulação e extrapolação foi elaborada com base na riqueza observada com o intuito de verificar a suficiência amostral do presente trabalho, com o auxílio do iNEXT online (CHAO *et al.*, 2016).

4.5 Compilação de dados sobre a diversidade de liquens no PARNASI

Para a compilação de dados sobre as espécies de liquens já registradas no PARNASI, anteriormente ao presente trabalho, foi realizada a revisão no Herbário ISE, com a pesquisa manual das amostras que estão lá depositadas, porém ainda não cadastradas no herbário. Adicionalmente, foi feita uma pesquisa na literatura, e foi utilizada uma lista de referência das coletas realizadas nos últimos 10 anos, juntamente com o pesquisador Dr. André Aptroot, que é um colaborador do Laboratório de Liquenologia (LALIQ) da Universidade Federal de Sergipe – Campus Itabaiana.

5 RESULTADOS

5.1 Composição de espécies

Foram coletadas 259 amostras, sendo 100 na primeira coleta e 159 na segunda coleta. Destas, foram identificados 245 indivíduos em nível de espécie, e 14 amostras não puderem ser identificadas por não apresentarem algumas estruturas importantes taxonomicamente como os esporos. Das amostras identificadas, foram encontradas 90 espécies (Figuras 5–7), distribuídas em 45 gêneros e 22 famílias. Dentre as famílias

encontradas, destacaram-se a família *Graphidaceae*, com 69 indivíduos distribuídos em 10 gêneros, seguida pela *Trypetheliaceae*, com 59 indivíduos distribuídos em sete gêneros, e *Arthoniaceae* com 58 indivíduos em cinco gêneros. Outra observação pertinente é que os representantes dessas três famílias foram encontrados em ambientes de baixa, média e alta luminosidade, ou seja, ao longo de toda a trilha.

Apesar do número significativo de espécies encontradas nos forófitos analisados, a quantidade de amostras coletados não foi alta. As espécies que se destacaram foram: *Arthothelium* sp., com 37 indivíduos, *Trypethelium eluteriae* Spreng., com 16 indivíduos, e *Dyplolabia afzellii* Ach., com 13 indivíduos (Tabela 01).

Tabela 01. Espécies de liquens registradas para o Parque Nacional Serra de Itabaiana com respectivo número de amostras coletadas.

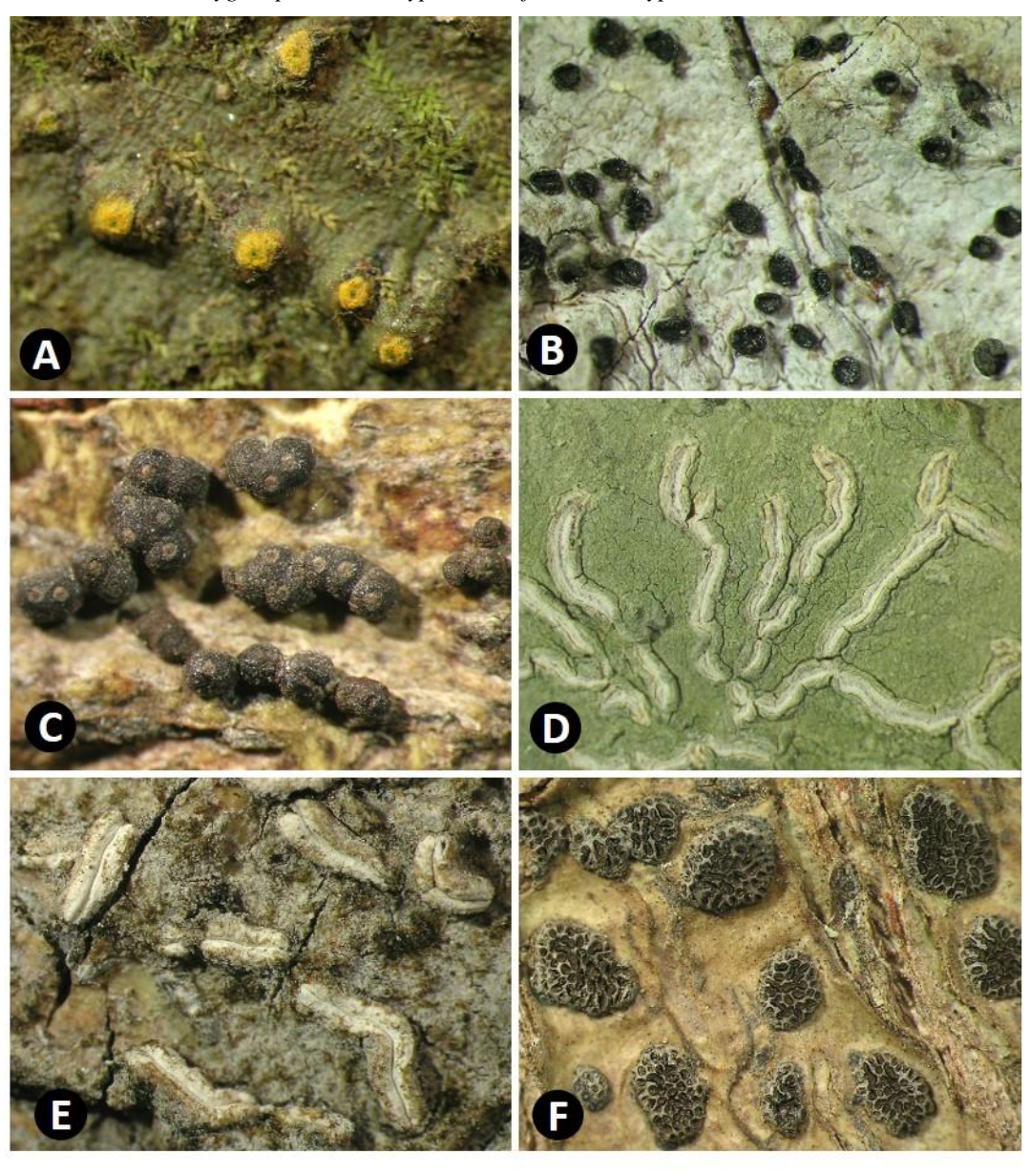
Espécie	Quantidade de
	indivíduos
Amandinea extenuata (Müll. Arg.) Marbach.	2
Anisomeridium biforme (Borrer) R. C. Harris	3
Arthonia complanata Fée	11
Arthonia sp.	1
Arthothelium sp.	37
Astrothelium aff. leucothelium Nyl.	1
Astrothelium porosum Ach.	6
Astrothelium cinnamomeum Eschw.	3
Astrothelium macrostomoides Lücking	1
Astrothelium kunzein Fée	3
Bactospora jenikii (Vězda) Egea & Torrente)	1
Bathelium madreporiforme Eschw.	1
Byssoloma subdiscordans Nyl.	1
Chapsa sp.	1
Chapsa discoides Stirt.	1
Coenogonium sp.	3
Coenogonium chloroticum Xavier-Leite, M. Cáceres & Aptroot	1

Cryptothecia sp.	1
Cryptothecia punctosorediata Sparrius	1
Cryptothecia scripta G. Thor.	1
Cryptothecia striata G. Thor	5
Diorygma alagoensis M. Cáceres & Lücking	2
Diorygma poitaei Fée	7
Dictyomeridium proponensis Aptroot, M. P. Nelsen &	1
Lücking	
Dyplolabia afzelii Ach.	13
Dyplolabia oryzoides (Leight.) Kalb & Staiger	1
Flakea papilata O. E. Erikss	1
Fissurina dumastii Fée	1
Gassicurtia coccinea Fée	4
Glyphis cicatricosa Ach.	7
Graphis sp. 1	1
Graphis sp. 2	1
Graphis sp. 3	1
Graphis furcata Fée	10
Graphis parallela Müll. Arg.	2
Graphis pinícola Zahlbr.	4
Graphis virescens Müll. Arg.	2
Hafellia curatellae (Malme) Marbach	1
Lecanora sp.	1
Lecanora concilians (Nyl.) Cromb.	1
Lecanora concilianda Vain.	1
Lecanora coronulans Nyl.	2
Lecanora tropica Zahlbr.	4
Lecanactis epileuca Nyl.	1
Malmidea furfurosa (Tuck. Ex Nyl.)	1
Megalospora sp.	1
Melanotrema sp.	1
Melanotrema platystosman (Mont.) Frisch	2
Myriotrema endoflavescens Hale ex Lücking	1

Nigrovothelium sp.	1
Nigrovothelium tropicum Ach.	1
Opegrapha sp.	3
Opegrapha astraea Tuck.	1
Parmelinela amazonensis Nyl.	2
Parmotrema praessorediosum (Nyl.) Hale	4
Pertusaria sp.	3
Pertusaria carneola (Eschw.) Müll. Arg.	1
Phaeographis asteroides (Fink) Lendemer	1
Phaeographis astroidea Müll. Arg.	1
Phaeographis brasiliensis (A. Massal.) Kalb & Matthes-	1
Leicht.	
Phaeographis aff. Punctiformis (Eschw.) Müll. Arg.	2
Phyllopsora corallina (Eschw.) Müll. Arg.	1
Phyllopsora furfuraceae Pears.	1
Polymeridium catapastum (Nyl.) R. C. Harris	1
Polymeridium catapastoides Aptroot	1
Polymeridium contendes (Nyl.) R. C. Harris	1
Polymeridium siamensi Vain.	2
Polymeridium simulans R. C. Harris.	2
Polymeridium sp. 1	3
Polymeridium sp. 2	2
Polymeridium sp. 3	1
Porina sp.	2
Pseudopyrenula subgregaria Mull. Arg	5
Pseudopyrenula subnudata Müll. Arg.	1
Pyrenula sp.	1
Pyrenula microtheca (Esslinger)	2
Ramboldia haematites (Fée) Kalb, Lumbsch & Elix	3
Rinodina sp.	1
Sarcographa labyrinthica (Ach.) Müll. Arg.	4
Stigmatochroma gerontoides (Stirt.) Marbach	1
Stirtonia lucida M.M.E. Alves, Aptroot & M. Cáceres	1

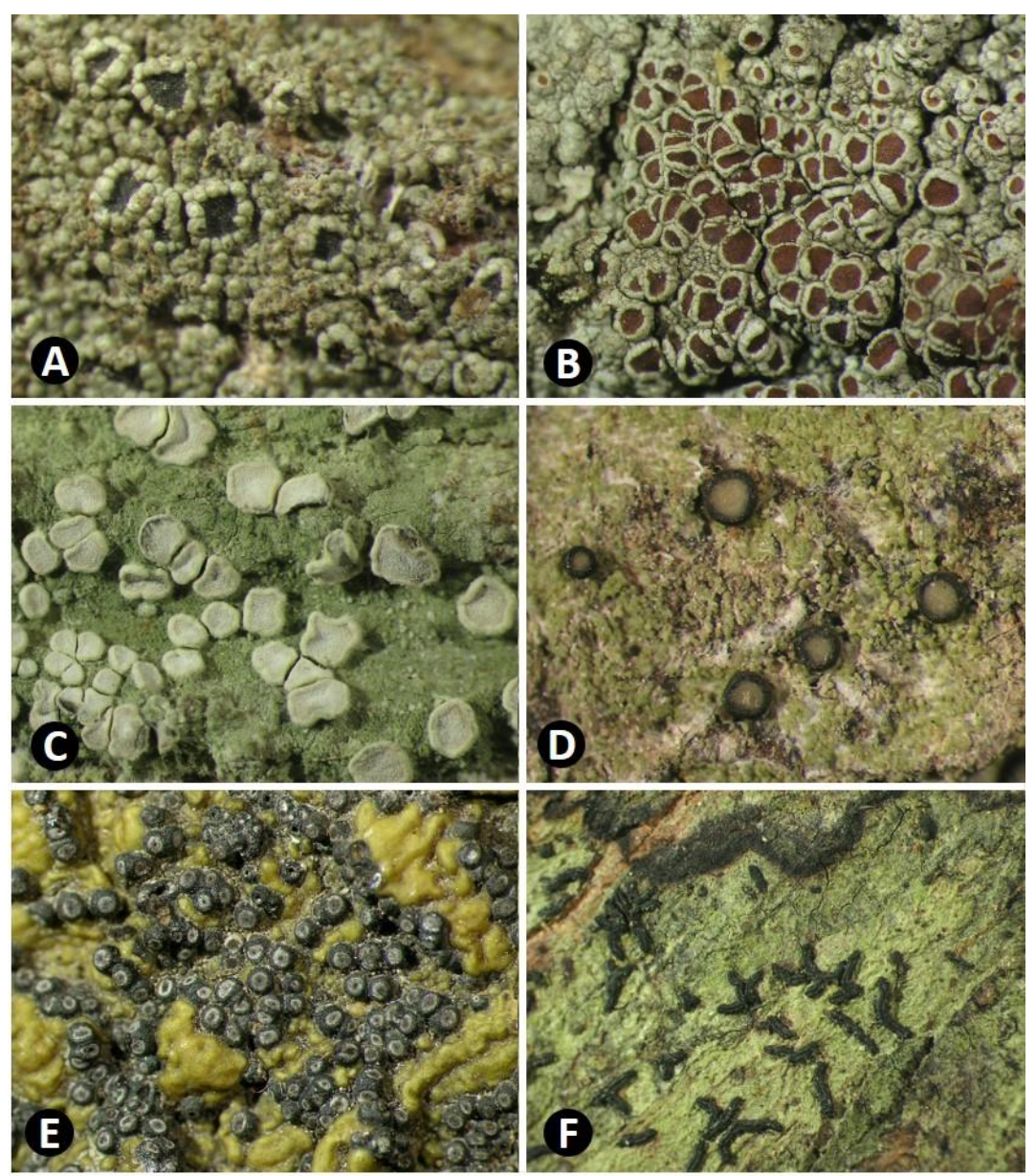
Stirtonia sp.	1
Strigula obtecta (Vain.) R. C. Harris	1
Tapellaria albomarginata Lücking	1
Thalloloma astroideum Mull. Arg.	3
Trypethelium sp.	1
Trypethelium eluteriae Spreng.	16
Trypethelium subeluteriae Makhija & Patw.	5

Figura 07. A. Astrothelium cinnamomeum; B. Bactospora jenikii; C. Bathelium madreporiforme; D. Diorygma poitaei; E. Dyplolabia afzellii; F. Glyphis cicatriosa.



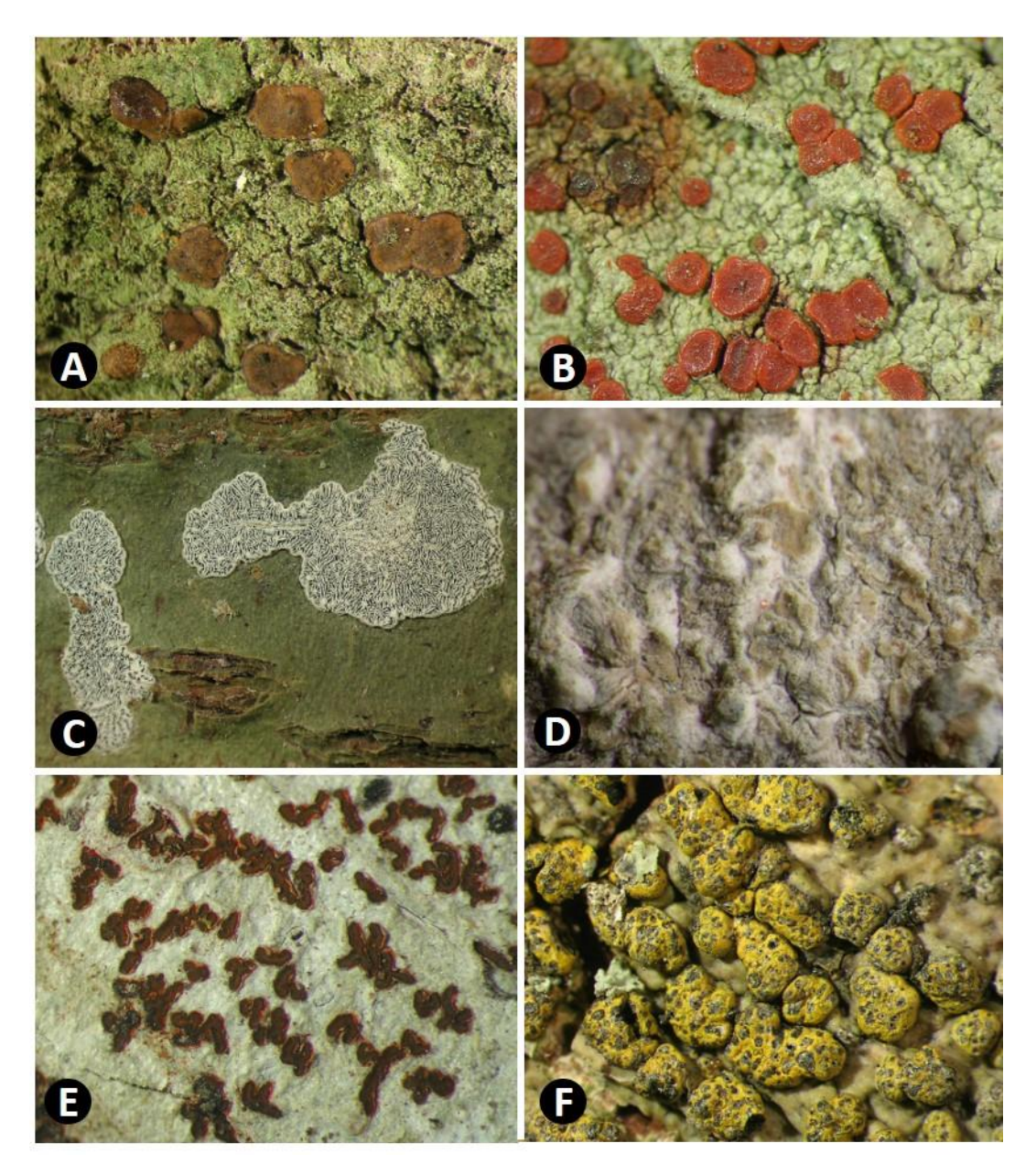
Fonte: Cáceres, 2007.

Figura 08. A. Lecanora coronulans; B. Lecanora tropica; C. Lecanactis epileuca; D. Malmidea furfurosa; E. Nigrovothelium tropicum; F. Opegrapha astraea



Fonte: Cáceres, 2007.

Figura 09. A. Phyllopsora furfuraceae; B. Ramboldia haematites; C. Sarcographa labyrinthica; D. Stirtonia nivea; E. Thalloloma astroideum; F. Trypethelium eluteriae.



Fonte: Cáceres, 2007

5.2 Liquens do Parque Nacional Serra de Itabaiana

Como pode ser visto na tabela abaixo, temos a lista geral de espécies registradas no PARNASI, onde temos 408 espécies corticícolas, 48 espécies foliícolas, 45 espécies saxícolas e 25 espécies terrícolas. Em destaque estão aquelas que puderam ser acrescentadas após as identificações realizadas nesse trabalho, ambas são corticícolas, que se somam em um total de 27 novos registros.

Tabela 02: Lista geral de espécies de liquens registradas no Parque Nacional Serra de Itabaiana, Itabaiana – SE. Em negrito estão as espécies que ainda não haviam sido registradas no parque.

Gênero/ Espécie	Local de coleta
	(habitat)
Agonimia pacifica (H. Harada) Diederich	corticícola
Allographa acharii (Fée) Lücking & Kalb	corticícola
Allograppha angustata (Eschm.) Lücking & Kalb	corticícola
Allographa argentata (Lücking & Umaña) Lücking &	corticícola
Kalb	
Allographa balbisii (Fée) Lücking & Kalb	corticícola
Allographa balbisina (Nyl.) Lücking & Kalb	corticícola
Allographa amplius (Nyl.) Kalb	corticícola
Amandinea extenuata (Müll. Arg.) Marbach	corticícola
Anisomeridium americanum (A. Massal.) RCHarris	corticícola
Anisomeridium biforme (Borrer) R. C. Harris	corticícola
Anisomeridium foliicola R. Sant. & Tibell	folíicola
Anisomeridium leptospermum (Zahlbr.) RCHarris	corticícola
Anisomeridium aff. polypori (Ellis & Everh.) MEBarr	corticícola
Anisomeridium cf. polypori (Ellis & Everh.) MEBarr	corticícola
Anisomeridium subprostans (Nyl.) RCHarris	corticícola
Anisomeridium truncatum (Müll. Arg.) RC Harris	corticícola
Anomomorpha turbulenta Nyl.	corticícola
Ampliotrema amplius (Nyl.) Kalb	corticícola
Arthonia aciniformis Stirt.	saxícola
Arthonia antillarum (Fée) Nyl.	corticícola
Arthonia aff. bessalis Nyl.	corticícola
Arthonia complanata Fée	corticícola
Arthonia leptosperma (Müll. Arg.) R. Sant.	folíicola
Arthonia parantillarum Aptroot	corticícola
Arthonia pinastri Anzi	corticícola

Astrothelium aeneum (Eschw.) Aptroot & Lücking	corticícola
Astrothelium auratum (RCHarris) Aptroot & Lücking	corticícola
Astrothelium cinnamomeum (Eschw.) Müll.Arg.	corticícola
Astrothelium aggr. Conicum Eschw	corticícola
Astrothelium cf. crassum (Fée) Aptroot	corticícola
Astrothelium confusum Müll.Arg.	corticícola
Astrothelium curvatum Aptroot & M. Cáceres	corticícola
Astrothelium degenerans (Vain.) Aptroot & Lücking	corticícola
Astrothelium eustomum (Mont.) Müll.Arg.	corticícola
Astrothelium inspersaeneum ELLima, Aptroot & M.	corticícola
Cáceres	
Astrothelium interjectum RCHarris	corticícola
Astrothelium kunzein Fée	corticícola
Astrothelium aff. leucothelium Nyl.	corticícola
Astrothelium macrocarpum (Fée) Aptroot & Lücking	corticícola
Astrothelium macrostomoides Lücking	corticícola
Astrothelium marcidum (Fée) Aptroot & Lücking	corticícola
Astrothelium nitidiusculum (Nyl.) Aptroot & Lücking	corticícola
Astrothelium obscurum Müll. Arg.	corticícola
Astrothelium phlyctaena (Fée) Aptroot & Lücking	corticícola
Astrothelium porosum (Ach.) Aptroot & Lücking	corticícola
Astrothelium puiggarii (Müll.Arg.) Aptroot & Lücking	corticícola
Astrothelium scoria (Fée) Aptroot & Lücking	corticícola
Astrothelium scorioides Nyl.	corticícola
Astrothelium cf. sepultum Mont.	corticícola
Astrothelium subdisjunctum (Müll.Arg.) Aptroot &	corticícola
Lücking	
Astrothelium tuberculosum (Vain.) Aptroot & Lücking	corticícola
Astrothelium variolosum (Ach.) Müll.Arg.	corticícola
Astrothelium versicolor Müll.Arg.	corticícola
Bacidina cf. adastra (Sparrius & Aptroot) M. Hauck & V.	folíicola
Wirth	

Bacidina agonimiana Nascimento & M. Cáceres	terrícola
Bacidina apiahica (Müll. Arg.) Vězda	folíicola
Bacidiopsora silvícola (Malme) Kalb	corticícola
Bacidiopsora orizabana (Vain.) Kalb	corticícola
Bactrospora myriadea (Fée) Egea & Torrente	corticícola
Bathelium madreporiforme (Eschw.) Trevis.	corticícola
Buellia cf. griseovirens (Turner & Borrer ex Sm.) Almb.	corticícola
Buellia halonia (Ach.) Tuck.	saxícola
Buellia mamillana (Tuck.) WAWeber	saxícola
Buellia ocellata (Flörke ex Flot.) Körb.	saxícola
Buellia subdisciformis (Leight.) Jatta	saxícola
Buellia trachyspora Vainio	saxícola
Bulbothrix leprieurii Aubel	corticícola
Bulbothrix subdissecta (Nyl.) Hale	corticícola
Bulbothrix tabacina (Mont. & Bosch) Hale	corticícola
Bulbothrix ventricosa (Hale & Kurok.) Hale	corticícola
Bullatina aspidota (Vain.) Vězda & Poelt	folíicola
Byssoloma catillariosporum M. Cáceres, M. W. O. Santos	corticícola
& Aptroot	
Byssoloma discordans (Vain.) Zahlbr.	corticícola
Byssoloma leucoblepharum Santess	folíicola
Byssoloma subdiscordans (Nyl.) P. James	corticícola
Calopadia chacoensis (Malme) Kalb & Vězda	corticícola
Calopadia foliicola (Fée) Vězda	folíicola
Calopadia pruinosa Lücking & Chaves	corticícola
Calopadia subcoerulescens (Zahlbr.) Vězda	folíicola
Calopadia subfusca Kalb & Vězda	corticícola
Caloplaca boergesenii (Vain.) Zahlbr.	saxícola
Caloplaca chrysophthalma Degel	corticícola
Caloplaca cinnabarina (Ach.) Zahlbr.	saxícola
Caloplaca ochraceofulva (Müll. Arg.) Jatta	saxícola

Caloplaca wrightii (Tuck.) Fink	corticícola
Canoparmelia cryptochlorophaea (Hale) Elix & Hale	corticícola
Canoparmelia salacinifera (Hale) Elix & Hale	corticícola
Canoparmelia texana (Tuck.) Elix & Hale	corticícola
Carbacanthographis candidata (Nyl.) Staiger & Kalb	corticícola
Carbacanthographis chionophora (Redinger) Staiger &	corticícola
Kalb	
Carbacanthographis crassa (Müll.Arg.) Staiger & Kalb	corticícola
Celothelium cinchonarum (Müll.Arg.) Vain.	corticícola
Chapsa dilatata (Müll.Arg.) Kalb	corticícola
Chapsa discoides Stirt.	corticícola
Chapsa elabens (Müll.Arg.) Rivas Plata & Mangold	corticícola
Chapsa leprocarpoides (Hale) M. Cáceres & Lücking	corticícola
Chapsa platycarpella (Vain.) A. Frish	corticícola
Chapsa platycarpioides (Tuck.) Breuss & Lücking	corticícola
Chapsa thallotrema Lücking & N. Salazar	corticícola
Chiodecton malmei G. Thor	corticícola
Chiodecton sphaerale Ach.	corticícola
Chroodiscus coccineus (Leight.) Müll.Arg.	folíicola
Cladia aggregata (Sw.) Nyl.	terrícola
Cladonia bahiana Ahti	terrícola
Cladonia clathrata Ahti & L. Xavier	terrícola
Cladonia confusa R. Sant.	terrícola
Cladonia didyma (Fée) Vain.	corticícola
Cladonia furfuracea Vain.	terrícola
Cladonia gumboskii Aptroot, MF Souza & Spielmann	saxícola
Cladonia kalbii (Ahti) Ahti & DePriest	terrícola
Cladonia lichexanthonica Aptroot & Cáceres	saxícola
Cladonia megaphylla Ahti & Marcelli	terrícola
Cladonia miniata G. Mey.	corticícola

Cladonia parvipes (Vain.) S. Stenroos	corticícola
Cladonia pityrophylla Vain.	terrícola
Cladonia polyscypha Ahti & L. Xavier	terrícola
Cladonia polystomata Ahti & Sipman	terrícola
Cladonia rugicaulis Ahti	terrícola
Cladonia sphacelata Vain.	terrícola
Cladonia subdelicatula Vain.	corticícola
Cladonia subminiata S. Stenroos	terrícola
Cladonia subradiata (Vain.) Sandst.	corticícola
Cladonia subsquamosa Kremp.	corticícola
Cladonia substellata Vain.	terrícola
Clandestinotrema pauperius (Nyl.) Rivas Plata, Lücking &	corticícola
Lumbsch	
Coccocarpia epiphylla (Fée) Müll.Arg.	corticícola
Coccocarpia erythroxyli (Spreng.) Swinscow & Krog	corticícola
Coccocarpia palmicola (Spreng.) Arv. & D. J. Galloway	corticícola
Coenogonium chloroticum Xavier-Leite, M. Cáceres &	corticícola
Aptroot	
Coenogonium coppinsii Aptroot & M. Cáceres	corticícola
Coenogonium implexum Nyl.	corticícola
Coenogonium interplexum Nyl.	corticícola
Coenogonium isidiatum (G. Thor & Vězda) Lücking,	corticícola
Aptroot & Sipman	
Coenogonium isidiosum (Breuss) Rivas Plata, Lücking,	corticícola
L.Umaña & Chaves	
Coenogonium leprieurii (Mont.) Nyl.	corticícola
Coenogonium linkii Ehrenb.	folíicola
Coenogonium strigosum Rivas Plata, Lücking & Chaves	corticícola
Coenogonium subdentatum (Vězda & G. Thor) Rivas	corticícola
Plata, Lücking, L. Umaña & Chaves	
Coenogonium subdilutum (Malme) Kalb	corticícola
Coenogonium subluteum (Rehm) Kalb & Lücking	folíicola

Coniarthonia megaspora Aptroot, C. Mendonça & M.	corticícola	
Cáceres		
Coniocarpon cinnabarinum DC.	corticícola	
Constrictolumina cinchonae (Ach.) Lücking, M. P. Nelsen	corticícola	
& Aptroot		
Cora itabaiana Dal-Forno, Aptroot & M. Cáceres	corticícola	
Cratiria obscurior (Stirt.) Marbach & Kalb	corticícola	
Cratiria vioxanthina (Elix) Kalb & Elix	saxícola	
Crespoa crozalsiana (B.de Lesd. ex Harm.) Lendemer &	corticícola	
B. P. Hodk.		
Cruentotrema cruentatum (Mont.) Rivas Plata, Lumbsch &	corticícola	
Lücking		
Crypthonia álbida (Fée) Frisch & G. Thor	corticícola	
Cryptoschizotrema cryptotrema (Nyl.) Aptroot, Lücking &	corticícola	
M. Cáceres		
Cryptothecia lichexanthonica E. L. Lima, Aptroot & M.	corticícola	
Cáceres		
Cryptothecia punctosorediata Sparrius	corticícola	
Cryptothecia scripta G. Thor	corticícola	
Cryptothecia striata G. Thor	corticícola	
Cryptothelium sepultum (Mont.) A. Massal.	corticícola	
Dichoporis phaea (Ach.) SH Jiang, Lücking & Sérus	corticícola	
Dichoporis tenuis (RC Harris) SH Jiang, Lücking & Sérus	corticícola	
Dichosporidium nigrocinctum (Ehrenb.) G. Thor	corticícola	
Dictyomeridium amylosporum (Vain.) Aptroot, MP Nelsen	corticícola	
& Lücking		
Dictyomeridium paraproponens (Aptroot, M. Cáceres &	corticícola	
EL Lima) Aptroot, MP Nelsen & Lücking		
Dictyomeridium proponens (Nyl.) Aptroot, MP Nelsen &	corticícola	
Lücking		
Dictyomeridium proponensis Aptroot, MP Nelsen &	corticícola	
Lücking		

Dimelaena oreina (Ach.) Norman	saxícola
Dimelaena tenuis (Müll.Arg.) H. Mayrhofer & Wippel	saxícola
Diorygma alagoensis Cáceres & Lücking	corticícola
Diorygma erythrellum (Mont. & Bosch) Kalb, Staiger &	corticícola
Elix	
Diorygma hieroglyphicum (Pers.) Staiger & Kalb	corticícola
Diorygma junghuhnii (Mont. & Bosch) Kalb, Staiger &	corticícola
Elix	
Diorygma poitaei (Fée) Kalb, Staiger & Elix	corticícola
Diorygma reniforme (Fée) Kalb, Staiger & Elix	corticícola
Diploschistella cf. urceolata Vain.	terrícola
Diploschistes diacapsis (Ach.) Lumbsch	terrícola
Diploschistes hypoleucus Zahlbr.	terrícola
Dirinaria leopoldii (Stein) D. D. Awasthi	corticícola
Dirinaria picta (Sw.) Clem. & Shear	corticícola
Dyplolabia afzelii (Ach.) A. Massal.	corticícola
Dyplolabia oryzoides (Leight.) Kalb & Staiger	corticícola
Echinoplaca leucotrichoides (Vain.) R. Sant.	folíicola
Echinoplaca subsimilis Kalb & Vězda	corticícola
Encephalographa anthracothecii Diederich	corticícola
Endocarpon pallidulum (Nyl.) Nyl.	terrícola
Enterographa compunctula (Nyl.) Redinger	saxícola
Enterographa chiodectonoides M. Cáceres & Lücking	corticícola
Enterographa pallidella (Nyl.) Redinger	saxícola
Enterographa perez-higaredae Herrera-Camp. & Lücking	folíicola
Enterographa quassiicola Fée	corticícola
Enterographa subquassiicola M. Cáceres & Lücking	corticícola
Erythrodecton granulatum (Mont.) G. Thor	corticícola
Fellhanera fuscatula (Müll.Arg.) Vězda	folíicola
Fissurina agregata Montagu	corticícola
Fissurina aggregatula Common & Lücking	corticícola
Fissurina comparimuralis Staiger	corticícola

Fissurina dumastii Fée	corticícola
Fissurina cf. egena (Nyl.) Nyl.	corticícola
Fissurina pseudostromatica Lücking & Rivas Plata	corticícola
Fissurina radiata Mont.	corticícola
Fissurina cf. tuckermaniana Comum & Lücking	corticícola
Flakea papilata O. E. Erikss	corticícola
Flavoparmelia caperata (L.) Hale	corticícola
Flegographa leprieurii (Mont.) A. Massal.	corticícola
Fouragea filicina (Mont.) Trevis.	folíicola
Gassicurtia coccínea Fée	corticícola
Glyphis cicatricosa Ach.	corticícola
Graphis acharii Fée	corticícola
Graphis albotecta (Redinger) Staiger	corticícola
Graphis borealis (A. W. Archer) A. W. Archer	corticícola
Graphis cinerea Fée	corticícola
Graphis furcata Fée	corticícola
Graphis glaucescens Fée	corticícola
Graphis haleana RC Harris	corticícola
Graphis immersicans AW Archer	corticícola
Graphis implicata Fée	corticícola
Graphis librata C. Knight	corticícola
Graphis multisulcata (Müll. Arg.) Lücking & Chaves	corticícola
Graphis oxyclada Müll. Arg.	corticícola
Graphis paralela Müll.Arg.	corticícola
Graphis pinicola Zahlbr.	corticícola
Graphis sitiana Vain.	corticícola
Graphis slendrae (Lücking) Hale	corticícola
Graphis stellata M. Cáceres & Lücking	corticícola
Graphis subnuda Staiger & Lücking	corticícola
Graphis subturgidula Lücking & Sipman	corticícola
Graphis virescens Müll. Arg.	corticícola

Gyalectidium filicinum Müll.Arg.	folíicola
Gyalectidium imperfectum Vězda	folíicola
Gyalideopsis cochlearifera Lücking & Sérus.	folíicola
Gyalideopsis concava Vezda	saxícola
Gyalideopsis lambinonii Vězda	corticícola
Gyalideopsis palmata Kalb & Vězda	corticícola
Gyalideopsis rubrofusca Kalb & Vezda	corticícola
Hafellia curatellae (Malme) Marbach	corticícola
Hafellia demutans (Zahlbr.) Pusswald	corticícola
Helminthocarpon leprevostii (Fée)	corticícola
Herpothallon aurantiacoflavum (B.de Lesd.) Aptroot,	corticícola
Lücking & G. Thor	
Herpothallon rubrocinctum (Ehrenb.) Aptroot, Lücking &	corticícola
G. Thor	
Heterodermia galactophylla (Tuck.) W. L. Culb.	corticícola
Heterodermia japônica (M. Satô) Swinscow & Krog	corticícola
Heterodermia obscurata (Nyl.) Trevis.	corticícola
Hyperphyscia cochlearis Scutari	corticícola
Hyperphyscia variabilis Scutari	corticícola
Hypotrachyna minarum (Vain.) Krog & Swinscow	corticícola
Hypotrachyna protochlorina Sipman, Elix & T. H. Nash	corticícola
Hypotrachyna rockii (Zahlbr.) Hale	corticícola
Lasioloma cf. arachnoideum (Kremp.) R. Sant.	folíicola
Laurera megasperma (Mont.) Riddle	corticícola
Lecanactis epileuca (Nyl.) Tehler	corticícola
Lecanora achroa Nyl.	corticícola
Lecanora concilians (Nyl.) Cromb.	corticícola
Lecanora concilianda Vain.	corticícola
Lecanora coronulans Nyl.	corticícola
Lecanora expallens Ach.	corticícola
Lecanora leproplaca Zahlbr.	corticícola
Lecanora lichexanthona Guderley	saxícola

Lecanora pseudistera Nyl.	corticícola
Lecanora subcrenulata Müll.Arg.	corticícola
Lecanora subimmersa (Fée) Vain.	saxícola
Lecanora sulfurescens Fée	saxícola
Lecanora tropica Zahlbr.	corticícola
Lecidea cf. haerjedalica H. Magn.	corticícola
Lecidella meiococca (Nyl.) Leuckert & Hertel	saxícola
Lepra subventosa (Malme) Schmitt & Lumbsch	saxícola
Lepra ventosa (Malme) Lendemer & R. C. Harris	saxícola
Leptogium coralloideum (Meyen & Flot.) Vain.	corticícola
Leptogium cortícola (Taylor) Tuck.	corticícola
Leptogium cyanescens (Ach.) Körb.	corticícola
Leptogium marginellum (Sw.) Gray	corticícola
Letrouitia domingensis (Pers.) Hafellner & Bellem.	corticícola
Letrouitia leprolyta (Nyl.) Hafellner	corticícola
Leucodecton compunctellum (Nyl.) Frisch	corticícola
Leucodecton occultum (Eschw.) Frisch	saxícola
Leucodecton cf. sordidescens (Fée) Lücking & Sipman	corticícola
Lyromma nectandrae Bat. & H. Maia	folíicola
Malcomiella atlântica Cáceres & Lücking	corticícola
Malcomiella badimioides Cáceres & Lücking	corticícola
Malcomiella furfurosa (Tuck. ex Nyl.) Cáceres & Lücking	corticícola
Malcomiella granífera (Ach.) Kalb & Lücking	corticícola
Malcomiella gyalectoides (Vain.) Cáceres & Lücking	corticícola
Malcomiella leptoloma (Müll.Arg.) Cáceres & Lücking	corticícola
Malcomiella piperis (Spreng.) Kalb & Lücking	corticícola
Malcomiella psychotrioides Kalb & Lücking	corticícola
Malcomiella vinosa (Eschw.) Kalb & Lücking	corticícola
Malmidea atlantica (M. Cáceres & Lücking) M. Cáceres &	corticícola
Kalb	
Malmidea badimioides (M. Cáceres & Lücking) M.	corticícola
Cáceres & Kalb	

Malmidea cf. ceylanica (Zahlbr.) Kalb, Rivas Plata &	corticícola
Lumbsch	
Malmidea furfurosa (Tuck. ex Nyl.) Kalb & Lücking	corticícola
Malmidea granifera (Ach.) Kalb, Rivas Plata & Lumbsch	corticícola
Malmidea piperis (Spreng.) Kalb, Rivas Plata & Lumbsch	corticícola
Malmidea psychotrioides (Kalb & Lücking) Kalb, Rivas	corticícola
Plata & Lumbsch	
Malmidea sulphureosorediata M. Cáceres, D. A. Mota &	corticícola
Aptroot	
Malmidea vinosa (Eschw.) Kalb, Rivas Plata & Lumbsch	corticícola
Malmographina plicosa (C.F.W. Meissn.) M.Cáceres,	corticícola
Rivas Plata & Lücking	
Mazosia carnea (Eckfeldt) Aptroot & M. Cáceres	corticícola
Mazosia dispersa (Hedr.) R. Sant.	folíicola
Mazosia endonigra M. Cáceres & Aptroot	corticícola
Mazosia melanophthalma (Müll.Arg.) R. Sant.	folíicola
Mazosia phyllosema (Nyl.) Zahlbr.	folíicola
Mazosia pilosa Kalb & Vezda	folíicola
Mazosia rotula (Mont.) A. Massal.	folíicola
Mazosia viridescens (Fée) Aptroot & M. Cáceres	corticícola
Megalaria bengalensis Jagad.Ram, Aptroot, G.P. Sinha &	corticícola
Kr. P. Singh	
Megalospora sulphurata Meyen	corticícola
Megalotremis flavovulcanus Aptroot.	corticícola
Megalotremis cf. verrucosa (Makhija & Patw.) Aptroot	corticícola
Melanotrema meiospermum (Nyl.) Frisch	corticícola
Melanotrema platystosmum (Mont.) Frisch	corticícola
Micarea pycnidiophora Coppins & P. James	corticícola
Micarea squamulosa Aptroot, Lücking & M. Cáceres	terrícola
Micarea termitophila Aptroot & M. Cáceres	saxícola
Mycocalicium enterographicola Aptroot & M. Cáceres	corticícola
Mycoporum compositum (A. Massal.) R. C. Harris	corticícola

Mycoporum eschweileri (Müll.Arg.) R.C.Harris	corticícola
Mycoporum lacteum (Ach.) R. C. Harris	corticícola
Mycoporum sparsellum Nyl.	corticícola
Myeloconis guyanensis P. M. McCarthy & Elix	corticícola
Myriostigma miniatum (Vain. ex Lücking) Aptroot, Ertz,	corticícola
Grube & M. Cáceres	
Myriostigma subcandidum (M. Cáceres & Lücking) Frisch	corticícola
& G. Thor	
Myriotrema hartii (Müll.Arg.) Hale	corticícola
Myriotrema cf. microporum (Mont.) Hale	corticícola
Myriotrema neofrondosum Sipman	corticícola
Musaespora gigas (Zahlbr.) R. C. Harris	corticícola
Neoprotoparmelia brasilisidiata Garima Singh, M. Cáceres	corticícola
& Aptroot	
Neoprotoparmelia isidiata (Diederich, Aptroot & Sérus.)	corticícola
Garima Singh, Lumbsch & I.Schmitt	
Neoprotoparmelia multífera (Nyl.) Garima Singh,	corticícola
Lumbsch & I. Schmitt	
Nigrovothelium tropicum (Ach.) Lücking, M. P. Nelsen &	corticícola
Aptroot	
Nitidochapsa cf. aggregata (Hale) Poengs., Lücking &	corticícola
Lumbsch	
Normandina pulchella (Borrer) Nyl.	corticícola
Nyungwea anguinella (Nyl.) Aptroot	corticícola
Ocellularia albula (Nyl.) Zahlbr.	corticícola
Ocellularia carnea (Eckfeldt) Aptroot & M. Cáceres	corticícola
Ocellularia s.l. cavata (Ach.) Müll.Arg.	corticícola
Ocellularia aggr. cavata (Ach.) Müll.Arg.	corticícola
Ocellularia crocea (Kremp.) Overeem & D. Overeem	corticícola
Ocellularia laeviuscula (Nyl.) Kraichak, Lücking &	corticícola
Lumbsch	
Ocellularia cf. mauretiana Hale	corticícola

Ocellularia obturascens (Nyl.) Hale	corticícola
Ocellularia aggr. papillata (Leight.) Zahlbr.	corticícola
Ocellularia aggr. perforata (Leight.) Müll.Arg.	corticícola
Ocellularia praestans (Müll.Arg.) Hale	corticícola
Ocellularia psorbarroensis Sipman	corticícola
Ocellularia rotundifumosa Naksukankul, Luecking &	corticícola
Lumbsch	
Ocellularia subemersa Müll.Arg.	corticícola
Ocellularia terebrata (Ach.) Müll.Arg.	corticícola
Ocellularia viridipallens Müll.Arg.	corticícola
Opegrapha astraea Tuck.	corticícola
Opegrapha aurantiaca B. de Lesd.	corticícola
Opegrapha cylindrica Raddi	corticícola
Opegrapha mazosiae Matzer	folíicola
Opegrapha Quintana Redinger	corticícola
Opegrapha riograndensis Redinger	corticícola
Opegrapha subdictyospora M. Cáceres, EL Lima &	corticícola
Aptroot	
Opegrapha urosperma Fée	corticícola
Papilionovela albothallina Aptroot	corticícola
Paraporpidia neotropical (Sulzbacher & Lücking) B.P.	saxícola
Hodk.	
Parmelinella amazonensis Nyl.	corticícola
Parmelinella amazônica (Nylander) A. S. Rodrigues,	corticícola
APLorenz & Canêz	
Parmotrema clavuliferum (Räsänen) Streimann	corticícola
Parmotrema mellissii (CWDodge) Hale	corticícola
Parmotrema praesorediosum (Nyl.) Hale	corticícola
Parmotrema reticulatum (Taylor) M. Choisy	corticícola
Parmotrema robustum (Degel.) Hale	corticícola
Parmotrema subisidiosum (Müll.Arg.) Hale	corticícola
Parmotrema sulphuratum (Nees & Flot.) Hale	corticícola

Parmotrema tinctorum (Despr. ex Nyl.) Hale	corticícola	
Pertusaria carneola (Eschw.) Müll.Arg.	corticícola	
Pertusaria cf. flavoisidiata AWArcher & Elix	corticícola	
Pertusaria quassiae (Fée) Nyl.	corticícola	
Pertusaria tropica Vain.	corticícola	
Phaeographis asteroides (Fink) Lendemer	corticícola	
Phaeographis astroidea Müll.Arg.	corticícola	
Phaeographis brasiliensis (A.Massal.) Kalb & Matthes-	corticícola	
Leicht		
Phaeographis caesiodisca Staiger	corticícola	
Phaeographis haematites (Fée) Müll. Arg.	corticícola	
Phaeographis intricans (Nyl.) Vainio	corticícola	
Phaeographis leiogrammodes (Kremp.) Müll.Arg.	corticícola	
Phaeographis punctiformis (Eschw.) Müll.Arg.	corticícola	
Phaeographis scalpturata (Ach.) Staiger	corticícola	
Phyllopsora breviuscula (Nyl.) Müll.Arg.	corticícola	
Phyllopsora buettneri (Müll.Arg.) Zahlbr.	corticícola	
Phyllopsora confusa Swinscow & Krog	corticícola	
Phyllopsora corallina (Eschw.) Müll.Arg.	saxícola	
Phyllopsora crocynia P. gossypina (SW.) Kistenich,	corticícola	
Timdal, Bendiksby J S. Ekman		
Phyllopsora furfuracea (Pers.) Zahlbr.	corticícola	
Phyllopsora isidiotyla (Vain.) Riddle	corticícola	
Phyllopsora kalbii Brako	corticícola	
Phyllopsora parvifolia (Pers.) Müll.Arg.	corticícola	
Physcia atrostriata Moberg	corticícola	
Physcia krogiae Moberg	corticícola	
Physcia sorediosa (Vain.) Lynge	corticícola	
Platygramme caesiopruinosa (Fée) Fée	corticícola	
Platygramme colubrosa (Nyl.) Staiger	corticícola	
Platythecium allosporellum (Nyl.) Staiger	saxícola	
Platythecium colliculosum (Mont.) Staiger	corticícola	

Platythecium grammitis (Fée) Staiger	corticícola
Platythecium leiogramma (Nyl.) Staiger	corticícola
Polymeridium albidoreagens Aptroot, A. A. Menezes & M.	corticícola
Cáceres	
Polymeridium albidum (Müll.Arg.) R. C. Harris	corticícola
Polymeridium albocinereum (Kremp.) R. C. Harris	corticícola
Polymeridium catapastum (Nyl.) R. C. Harris	corticícola
Polymeridium catapastoides Aptroot	corticícola
Polymeridium contendens (Nyl.) R. C. Harris	corticícola
Polymeridium longiflavens Aptroot, C. Mendonça & M.	corticícola
Cáceres	
Polymeridium neblinae R. C. Harris	corticícola
Polymeridium siamensi Vain.	corticícola
Polymeridium xanthoreagens Aptroot	corticícola
Porina africana Müll. Arg.	corticícola
Porina alba (R. Sant.) Lücking	folíicola
Porina chlorotica (Ach.) Müll.Arg.	saxícola
Porina conspersa Malme	corticícola
Porina cryptostoma Mont.	corticícola
Porina curtula Malme	corticícola
Porina distans Vězda & Vivant	corticícola
Porina epiphylla Fée	folíicola
Porina farinosa C. Knight	corticícola
Porina cf. fusca Philbott	folíicola
Porina guentheri (Flot.) Zahlbr.	saxícola
Porina guianensis Lücking & Vězda	folíicola
Porina imitatrix Müll.Arg.	corticícola
Porina isidioambigua M. Cáceres, M.W. O. Santos &	corticícola
Aptroot	
Porina lectissima (Fr.) Zahlbr.	folíicola
Porina mastoidea (Ach.) Müll.Arg.	corticícola
Porina nitidula Müll.Arg.	folíicola

Porina nucula Ach.	corticícola
Porina nuculastrum (Müll.Arg.) R. C. Harris	corticícola
Porina rubentior (Stirt.) Müll.Arg.	folíicola
Porina subinterstes (Nyl.) Müll.Arg.	saxícola
Porina subpungens Malme	corticícola
Porina tetracerae (Ach.) Müll.Arg.	corticícola
Pseudochapsa dilatata (Müll.Arg.) Parnmen, Lücking &	corticícola
Lumbsch	
Pseudoparmelia hypomilta (Fée) Hale	corticícola
Pseudopyrenula diluta (Fée) Müll.Arg.	corticícola
Pseudopyrenula subgregaria Müll.Arg.	corticícola
Pseudopyrenula subnudata Müll.Arg.	corticícola
Pterygiopsis atra Vain.	saxícola
Pterygiopsis guyanensis M. Schultz, Porembski & Büdel	saxícola
Puiggariella nemathora (Mont.) SH Jiang, Lücking & JC	folíicola
Wei	
Pycnotrema pycnoporellum (Nyl.) Rivas Plata & Lücking	corticícola
Pyrenopsis olivacea Vain.	saxícola
Pyrenula abditicarpa Aptroot & M. Cáceres	corticícola
Pyrenula aggregataspistea Aptroot & M. Cáceres	corticícola
Pyrenula arthoniotheca Upreti	corticícola
Pyrenula aspistea (Afzel. ex Ach.) Ach.	corticícola
Pyrenula astroidea (Fée) RC Harris	corticícola
Pyrenula celaticarpa Aptroot & M. Cáceres	corticícola
Pyrenula cruenta (Mont.) Vain.	corticícola
Pyrenula infraleucotrypa Aptroot & M. Cáceres	corticícola
Pyrenula inspersicollaris Aptroot & M. Cáceres	corticícola
Pyrenula mamillana (Ach.) Trevis.	corticícola
Pyrenula microtheca R. C. Harris	corticícola
Pyrenula minor Fée	corticícola
Pyrenula nitidula (Bresadola) R. C. Harris	corticícola
Pyrenula ochraceoflava (Nyl.) R.C. Harris	corticícola

Pyrenula papillifera (Nyl.) Aptroot	corticícola
Pyrenula quassiicola Fée	corticícola
Pyrenula rubrostigma Aptroot & M. Cáceres	corticícola
Pyrenula septicollaris (Eschw.) R.C. Harris	corticícola
Pyrenula tristíssima Vain.	corticícola
Pyrenula xanthoglobulifera Aptroot, Lücking & M.	corticícola
Pyrgillus javanicus (Ach.) Vain.	corticícola
Pyrrhospora varians (Ach.) RC Harris	corticícola
Pyxine albovirens (G. Mey.) Aptroot	corticícola
Pyxine caesiopruinosa (Tuck.) Imshaug	saxícola
Pyxine cocoes (Sw.) Nyl.	saxícola
Pyxine endolutea Kalb	corticícola
Pyxine eschweileri (Tuck.) Vain.	corticícola
Pyxine obscurascens Malme	corticícola
Racoplaca maculata (Cooke & Massee) SH Jiang, Lücking	folíicola
& JC Wei	
Ramalina aspera Räsänen	corticícola
Ramalina dendriscoides Nyl.	corticícola
Ramalina peruviana Ach.	corticícola
Ramalina sorediosa (B. de Lesd.) Landrón	corticícola
Ramalina subpollinaria Nyl.	corticícola
Ramboldia haematites (Fée) Kalb, Lumbsch & Elix	corticícola
Ramboldia russula (Ach.) Kalb, Lumbsch & Elix	corticícola
Ramonia microspora Vězda	corticícola
Rhabdodiscus granulosus (Tuck.) Rivas Plata, Lücking &	corticícola
Lumbsch	
Rinodina sipmanii Aptroot	corticícola
Sagenidiopsis undulata (Fée) Egea et al.	corticícola
Sanguinotrema wightii (Taylor) Lücking	corticícola
Sarcographa labyrinthica (Ach.) Müll.Arg.	corticícola
Sarcographa tricosa (Ach.) Müll.Arg.	corticícola

Sarcopyrenia cylindrospora (P. Crouan & H. Crouan)	terrícola
M.B. Aguirre	
Sclerophyton elegans Eschw.	corticícola
Sporopodium antoninianum Elix, Lumbsch & Lücking	folíicola
Sporopodium marginatum Lücking & Lumbsch	folíicola
Sporopodium phyllocharis (Mont.) A. Massal.	folíicola
Stigmatochroma gerontoides (Stirt.) Marbach	corticícola
Stigmatochroma metaleptoides (Nyl.) Marbach.	corticícola
Stigmidium epixanthum Hafellner	saxícola
Stirtonia lucida MME Alves, Aptroot & M. Cáceres	corticícola
Stirtonia macrocarpa Makhija & Patw.	corticícola
Strigula obtecta (Vain.) R.C. Harris	corticícola
Strigula nitidula Mont.	folíicola
Strigula smaragdula Fr.	folíicola
Sulzbacheromyces caatingae (Sulzbacher & Lücking) BP	terrícola
Hodk. & Lücking	
Swinscowia griseonitens (RC Harris) SH Jiang, Lücking &	corticícola
Sérus	
Syncesia rhizomorpha Tehler	corticícola
Tapellaria albomarginata Lücking	corticícola
Teloschistes flavicans (Sw.) Norman	corticícola
Thalloloma astroideum (Müll.Arg.) Staiger	corticícola
Thalloloma janeirense Staiger.	corticícola
Thalloloma rhodastrum (Redinger) Staiger	corticícola
Thelenella paraguayensis Malme	corticícola
Thelopsis cruciata Aptroot & M. Cáceres	corticícola
Trapelia coarctata (Turner) M. Choisy	saxícola
Trapeliopsis flexuosa (Fr.) Coppins & P. James	corticícola
Trapeliopsis granulosa (Hoffm.) Lumbsch	terrícola
Tricharia leucothrix Fée	folíicola
Tricharia melanothrix Fée	folíicola
Tricharia urceolata (Müll.Arg.) R. Sant.	folíicola

Trichothelium epiphyllum Müll.Arg.	folíicola
Trichothelium minus Vain.	folíicola
Trichothelium sipmanii Lücking	folíicola
Trichothelium ulei (P.Henn.) Höhnel	folíicola
Trypethelium eluteriae Spreng.	corticícola
Trypethelium foveolatum Müll. Arg.	corticícola
Trypethelium ochroleucum (Eschw.) Nyl.	corticícola
Trypethelium platystomum Mont.	corticícola
Trypethelium regnellii Malme	corticícola
Trypethelium subeluteriae Makhija & Patw.	corticícola
Tylophoron hibernicum (D. Hawksw., Coppins & P.	saxícola
James) Ertz, Diederich, Bungartz & Tibell	
Tylophoron moderatum Nyl.	corticícola
Verrucaria murina Leight.	saxícola
Viridothelium leptoseptatum Aptroot & M. Cáceres	corticícola
Xanthoparmelia neopropaguloides Hale	saxícola
Xanthoparmelia substenophylloides Hale	saxícola

5.3 Dados estatísticos e ecológicos

De acordo com as análises estatísticas dos liquens crostosos, foi possível ver que a elevação e o DAP não apresentam influência direta na distribuição do número de espécies e de indivíduos de liquens crostosos dessa área, tendo a elevação (p = 0.0781) e o DAP (p = 0.1226). Assim, não houve diferença significativa entre a elevação e o DAP. Mas, a luminosidade apresentou-se como o fator chave nessas análises (p = 0.0001), onde se pode perceber que quanto maior for o índice de luminosidade menor é o número de indivíduos e consequentemente o de espécies presentes no perímetro em estudo, mesmo em regiões de baixas elevações, como mostra as tabelas (p = 0.0001).

Tabela 03: Resultado do teste Fischer (F), graus de liberdade (gl) e índice de significância (p) de Modelos Lineares Generalizados (GLM) avaliando o efeito de variáveis numéricas (elevação e DAP) e categóricas (luminosidade) no número de espécies de liquens crostosos presentes em forófitos no Parque Nacional Serra de Itabaiana, Itabaiana, Sergipe.

Fatores	F	gl	p
Elevação	3,1914	1	0,0781
DAP	2,4384	1	0,1226
Luminosidade	12,7343	2	< 0,0001

Figura 10. Número de espécies de liquens crostosos presentes em forófitos no Parque Nacional Serra de Itabaiana, Itabaiana (SE) de acordo com a categoria de luminosidade. Dados expressos em valores de média ± intervalo de confiança.

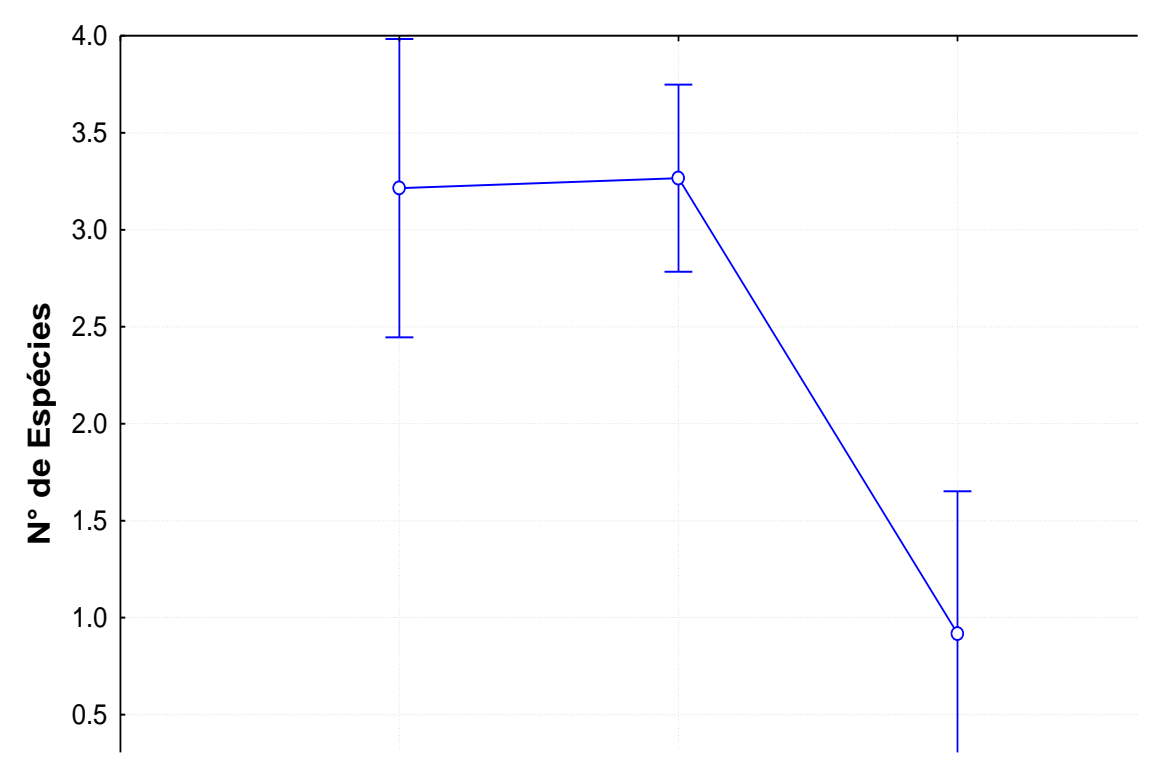
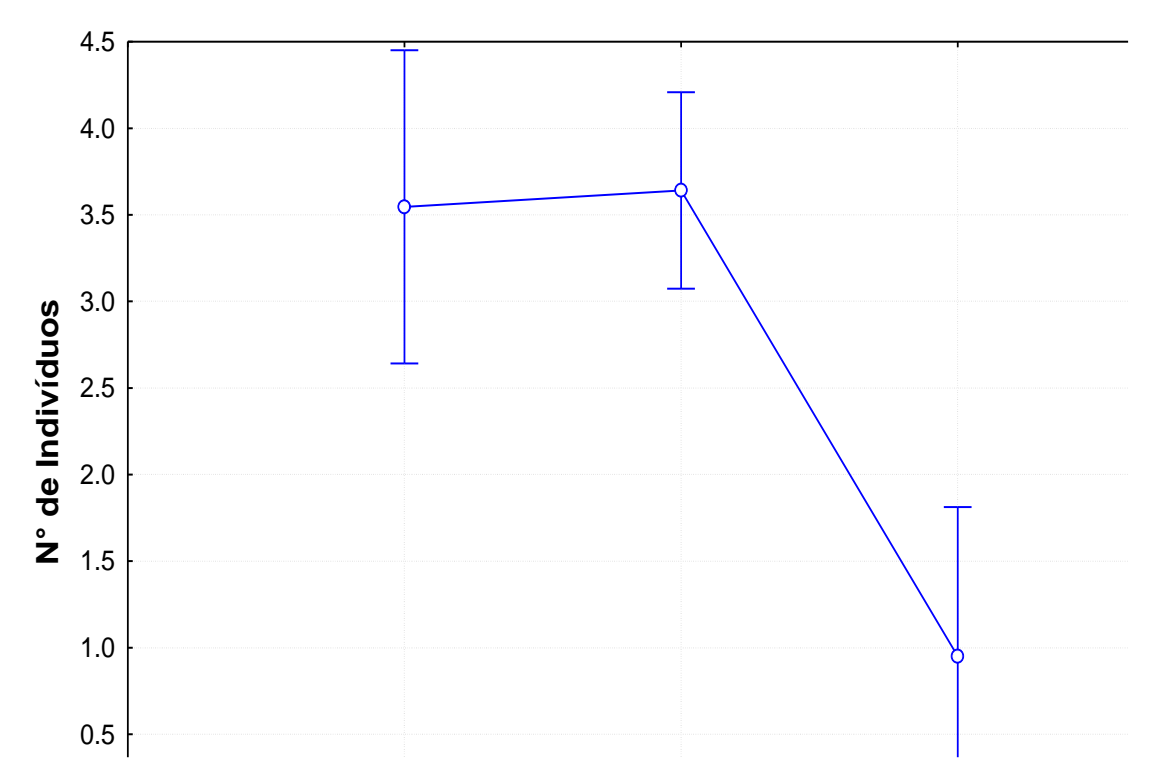


Tabela 04: Resultado do teste de Fischer (F), graus de liberdade (gl) e índice de significância (p) de Modelos Lineares Generalizados (GLM) avaliando o efeito de variáveis numéricas (elevação e DAP) e categóricas (luminosidade) no número de indivíduos de liquens crostosos presentes em forófitos no Parque Nacional Serra de Itabaiana, Itabaiana, Sergipe.

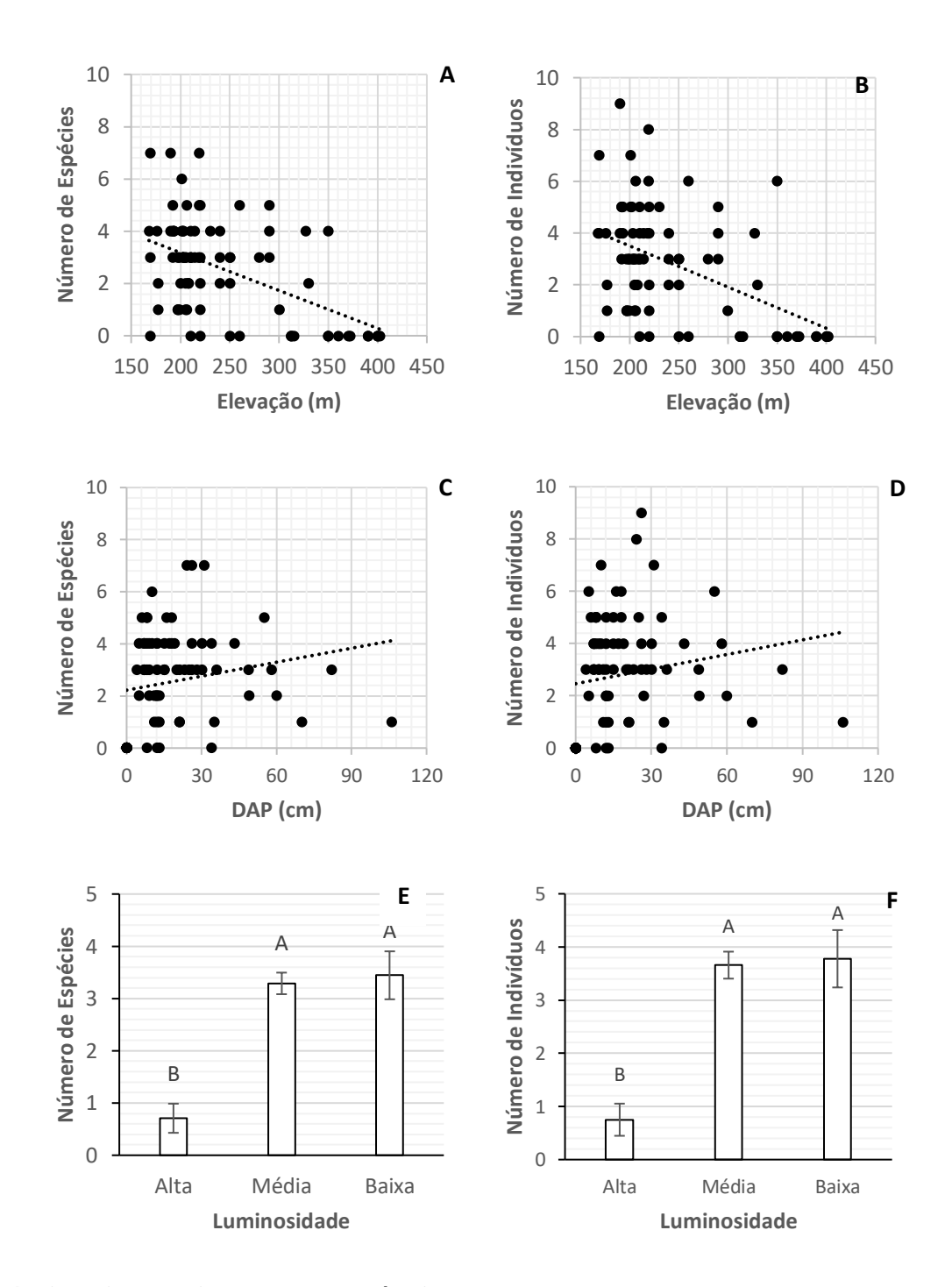
Fatores	F	gl	p
Elevação	2,6187	1	0,1098
DAP	2,5166	1	0,1169
Luminosidade	12,0768	1	< 0,0001

Figura 11. Número de indivíduos de liquens crostosos presentes em forófitos no Parque Nacional Serra de Itabaiana, Itabaiana (SE) de acordo com a categoria de luminosidade. Dados expressos em valores de média ± intervalo de confiança.



Com relação a distribuição e a quantidade de espécies de liquens crostosos e os fatores estudados, a área apresentou os seguintes valores (Figura 12): em relação a elevação o número e a quantidade de espécies se mostrou maior em áreas de elevação intermediária, tendo seu pico entre 150 a 280 metros, variando de 0 a 7 no número de espécies e de 0 a 9 indivíduos por forófito. O seu DAP apresentou uma média de 2,5 cm, porém é notável que seu pico de espécies se mostrou maior entre 5 e 25 cm de circunferência, o que mostra uma variação maior em circunferência menores, mas que neste trabalho não apresentou significância entre os fatores. Já a luminosidade, ao apresentar significância nos dados, mostrou que quanto mais alta a incidência de luz menos indivíduos e espécies se fizeram presente, tendo maiores números nos locais em que apresentaram baixa e média luminosidade.

Figura 12. Relação do padrão de distribuição de espécies e número de indivíduos de liquens presentes em forófitos no Parque Nacional Serra de Itabaiana, de acordo com a elevação (A e B), diâmetro na altura do peito do forófito – DAP (C e D) luminosidade (E e F).



5. 4 Diversidade, riqueza e abundância

Os índices de diversidade de Shannon e Simpson não diferiram significantemente entre os indivíduos coletados, e considerando todos os valores médios (H'= 0,0-0,6; D= 0,0-0,8) não pode ser afirmado que as espécies coletadas em cada forófito apresentam uma distribuição uniforme (TABELA 5).

Tabela 05: Riqueza total, índice de Shanon (H') e Simpson (D) de cada forófito coletado.

Forófito Riqueza	SHANON (H')	SIMPSON (D)
------------------	-------------	-------------

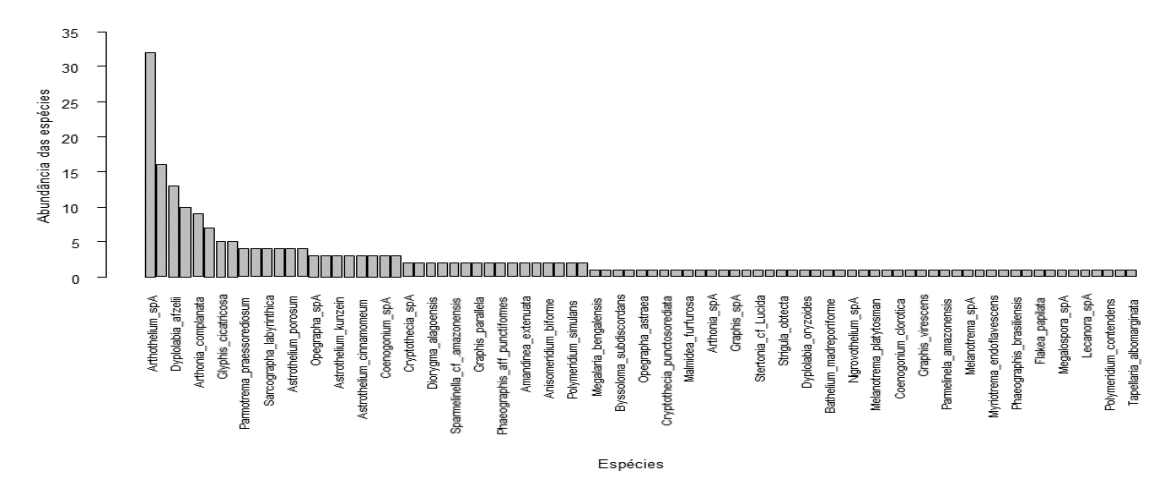
1	2	0.63651417	0.5000000
3	1	0.56233514	0.0000000
5	4	0.68696158	0.7500000
6	7	0.69018568	0.8333333
7	4	0.65548177	0.7500000
8	0	0.00000000	0.0000000
10	3	0.54020414	0.6250000
14	1	0.24493003	0.0000000
17	2	0.33649576	0.5000000
18	1	0.20619205	0.0000000
20	2	0.30463610	0.444444
21	2	0.29543919	0.5000000
22	5	0.47916562	0.777778
24	1	0.16794415	0.0000000
25	3	0.34049978	0.6666667
27	4	0.38454292	0.7500000
30	3	0.30463610	0.6666667
31	4	0.35538290	0.7500000
32	3	0.29250847	0.7500000
33	7	0.46372644	0.8395062
36	5	0.37079472	0.777778
37	5	0.36502313	0.8000000
39	3	0.25731864	0.6250000
40	7	0.42085932	0.8437500
41	6	0.38191331	0.8163265
42	2	0.18490740	0.5000000
43	4	0.29106712	0.7200000
45	4	0.28273888	0.7200000
47	5	0.31654897	0.7500000
48	4	0.27118937	0.7200000
49	4	0.26756791	0.7200000
50	3	0.21751857	0.6250000
51	3	0.21455916	0.6666667

53	3	0.20889976	0.6666667
54	4	0.25095480	0.7500000
55	3	0.20356091	0.5000000
56	3	0.20100301	0.6666667
57	1	0.08709952	0.0000000
59	1	0.08476608	0.0000000
60	3	0.19144408	0.6666667
61	1	0.08256494	0.5000000
63	0	0.00000000	0.0000000
64	2	0.13579396	0.5000000
67	3	0.17692035	0.6666667
68	0	0.00000000	0.0000000
69	3	0.17320521	0.5600000
70	4	0.21028341	0.8000000
71	3	0.16965823	0.6666667
73	3	0.16626787	0.6250000
74	4	0.20227300	0.7200000
76	4	0.19851524	0.7500000
78	3	0.15841057	0.6666667
79	2	0.11577416	0.5000000
80	3	0.15549160	0.6666667
81	2	0.11357945	0.5000000
83	3	0.15132861	0.6666667
84	0	0.00000000	0.0000000
85	0	0.00000000	0.0000000
86	5	0.21282591	0.777778
89	3	0.14369647	0.6666667
91	5	0.20460439	0.8000000
92	4	0.17320521	0.7500000
94	3	0.13795277	0.6666667
95	1	0.05790752	0.0000000
96	0	0.00000000	0.0000000
98	0	0.00000000	0.0000000

100	0	0.00000000	0.0000000
101	4	0.16184273	0.7500000
102	2	0.09503012	0.5000000
104	4	0.15841057	0.7222222
105	0	0.00000000	0.0000000
106	0	0.00000000	0.0000000
108	0	0.00000000	0.0000000
110	0	0.00000000	0.0000000
111	0	0.00000000	0.0000000
112	0	0.00000000	0.0000000
115	0	0.00000000	0.0000000
116	0	0.00000000	0.0000000
117	0	0.00000000	0.0000000
118	0	0.00000000	0.0000000

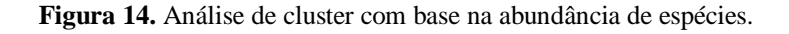
Considerando todas as espécies de liquens crostosos estudadas, e identificas ao menos a nível de gênero, foi observado o índice de abundância total e elaborado um gráfico de barras (Figura 13), onde, podemos observar que *Arthothelium* sp1 foi a espécie mais abundante (32), seguida por *Trypethelium eluteriae* (16), *Dyplolabia afzelii* (13), *Graphis furcata* (10), *Arthonia complanata* (9).

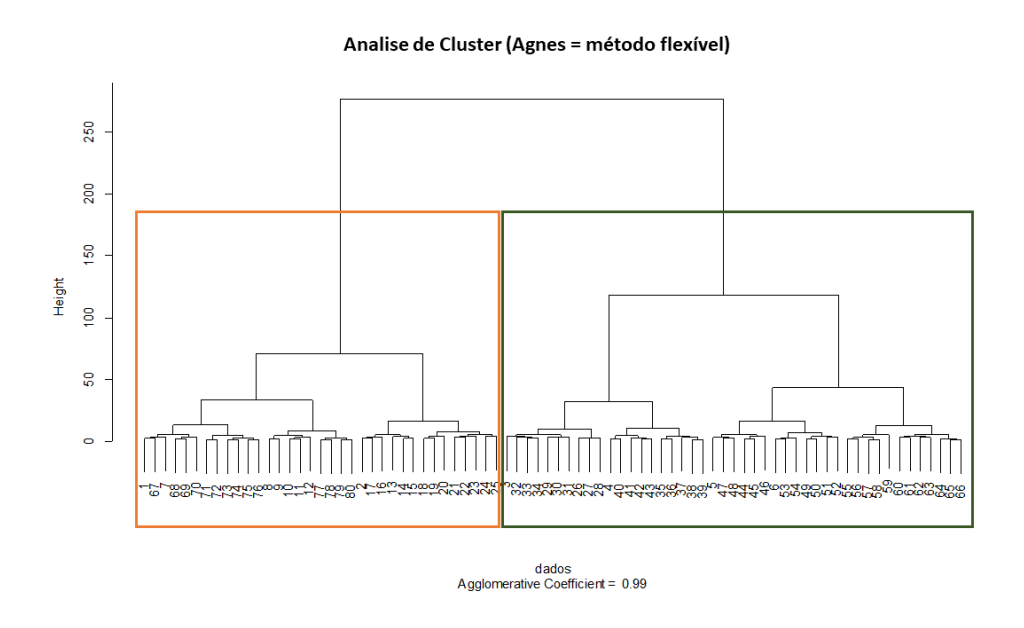
Figura 13. Gráfico de abundância absoluta de espécies de liquens crostosos presente no trabalho.



5.5 Composição de espécies e similaridade das comunidades

Para observar como ocorre a distribuição de espécies e se existem correlações especificas entre as áreas estudadas, foi elaborado um cluster utilizando o método de Agnes (Figura 14). Onde pode ser observado que todos os indivíduos estudados formam um grande agrupamento, subdividido em dois agrupamentos: A (em laranja, e subdividido em dois agrupamentos menores) e B (em verde, e subdivido em dois agrupamentos), que implica dizer que a composição de espécies entre esses grupos é semelhante.





Existe uma tendência que ainda não foi abordada, mas que está em processo de estudo, onde está sendo desenvolvida novas análises dentro de cada cluster, para entender melhor o que está acontecendo com essa distribuição.

5.6 Curva de acumulação e extrapolação

Por fim, uma curva de acumulação e extrapolação foi gerada com o objetivo de determinar a suficiência das amostras coletadas (Figura 15). É possível observar que a curva obtida na análise, com base nos valores de abundância absoluta das espécies coletadas, não atingiu o *plateau*, entretanto a cobertura observada no presente estudo é de 90%.

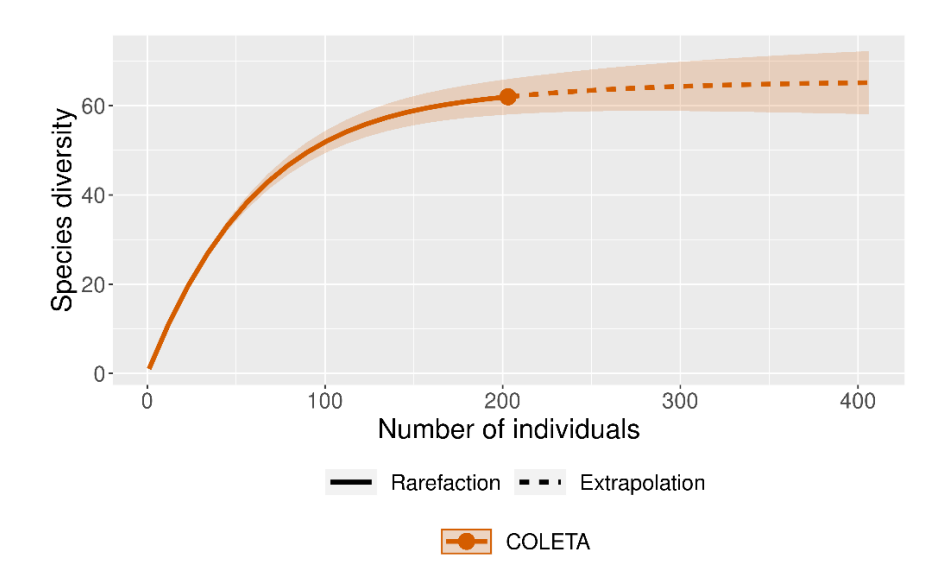


Figura 15. Curva de acumulação e extrapolação de espécies obtidas no estudo.

6 DISCUSSÃO

A simbiose realizada entre o fungo e a alga e/ou cianobactéria depende de alguns fatores para ocorrer (WEBSTER; WEBER, 2007), entre eles podemos citar: a umidade, a luminosidade e recursos hídricos como fatores fundamentais nesse processo. Além disso, adaptações como maior tolerância as altas temperaturas, baixa pluviosidade e as possíveis modificações ambientais é o que torna viável a reprodução e permanência das espécies ao longo da área (LEHMKUHL, 2004).

Em relação ao padrão vegetal do ambiente, assim como esperado a medida em que a altitude se eleva mudanças estruturais vão acontecendo, onde em geral, regiões mais baixas (150 – 179m) são caracterizadas pela presença de árvores de maior porte, dossel mais fechado e umidade presente, além de um solo rico em serapilheiras característicos do bioma Mata Atlântica (ICMBio, 2016). Na região intermediária (180 – 280m), o dossel se abre mais, permitindo uma maior incidência de luz, as grandes árvores começam a

serem substituídas por arbustos menores, reduzindo parte da umidade e apresentando um solo mais seco ainda não arenoso, mas sem serapilheira (RABEK, 1995). Já nas altitudes mais elevadas (281 – 402m), há o predomínio da vegetação de Caatinga, houve locais com poucos e até nenhum arbusto, não apresenta formação de dossel, o solo é arenoso e há forte presença de rochas e alguns cactos no percurso (MARIANO *et al.*, 2018).

A radiação ultravioleta quando muito alta, afeta todo o ecossistema e seus recursos como a disponibilidade de água, alimentos, nutrientes, condições necessárias para a sobrevivência em todos os ambientes. Portanto, é fundamental que os liquens apresentem algum tipo de proteção contra este tipo de radiação, sabe-se que os liquens produzem substâncias químicas eficientes para sua defesa e estabelecimento no ambiente (LAKATOS; RASCHER; BUDEL, 2006), sendo assim, os liquens conseguem suportar períodos prolongados de exposição à luz solar, (MOLNÁR; FARKAS, 2010). Para isso, deve haver um equilíbrio entre a morfologia e as demandas fisiológicas, algo que no geral, é realizado pelos liquens corticícolas (LAKATOS; RASCHER; BUDEL, 2006). É importante salientar, que mesmo em áreas com elevações dentro do padrão intermediário, em alguns casos apresentaram baixa luminosidade, ou seja, partes do percurso formavam condições ambientais diferentes, como pequenos ecótonos. A presença destes ecótonos, confirmam que nas diferentes regiões elevacionais, os organismos conseguem se diferenciar e se adaptar mesmo em condições alteradas e que a presença de áreas de transição entre biomas, acabam facilitando a presença desses ecótonos (STEVENS, 1992; NAVAS, 2002, VALGAS et al., 2003, ALMEIDA-NETO et al., 2006, COLWELL; LEES, 2000, ROMDAL; GRYTNES, 2007).

Em relação ao percurso trilhado dentro do PARNASI, percebe-se uma variação no padrão do percurso com a diminuição da altitude em determinados pontos mesmo estando andando em direção ao topo (subindo), ou seja, em alguns pontos mais próximo ao topo a elevação era menor. Isso ocorreu porque o PARNASI apresenta locais de subida e descida ao longo da trilha, então mesmo se direcionando para o topo, o que causa uma irregularidade principalmente em relação ao fator elevação.

A presença de transições vegetacionais abruptas e formação de ecótonos adjacentes também apresentam ligação com o nível de conservação da área e a forte presença de atividades antrópicas no local (ICMBio, 2016). Visto, que as regiões do Parque apresentam áreas desmatadas, modificadas e afetadas pela ação antrópica, e que as

mesmas ficam próximas a povoados, a uma rodovia e áreas urbanas, ocorre uma facilitação do acesso da população, que por vezes usufrui dos recursos ali presentes de forma legal e ilegal (plantações e pastagens). Além disso, mensalmente dezenas de pessoas visitam o parque, seja para fins acadêmicos ou para turismo e lazer. Isso é decorrente do processo de povoação dessa área, onde parte da localidade de Alto do Vento está fora do PARNASI, em especial as moradias, sendo considerado pela gestão da Unidade de Conservação, como um povoado semiurbano em que está havendo aumento no número de residências em direção ao Alto do Vento. Na porção dentro do Parque ficaram os roçados dessas moradias, nos quais se observa o aumento da área de pastagem e roçado, em especial amendoim e mandioca, com supressão de remanescentes vegetais do entorno (ICMBio, 2016).

Em relação a riqueza e abundância das espécies, esperava-se que um maior número de espécies e também de indivíduos fossem registrados, visto que o parque sempre se apresentou como uma área rica em espécies e que é favorecido por abrigar parte de um bioma endêmico, a Caatinga como observados em estudos anteriores (CÁCERES; LÜCKING; RAMBOLD, 2007, TENÓRIO *et al.*, 2009, DANTAS; RIBEIRO, 2010, MMA, 2004, SOBRAL *et al.*, 2007). Apesar de não ter encontrado novas espécies, dentre as que foram identificadas houve um acréscimo de 27 espécies que ainda não haviam sido coletadas no parque, totalizando 526 espécies conhecidas para o PARNASI. Esse número apesar de pequeno, demonstra o quanto de espécies e organismo ainda há para ser coletado, estudado e identificado, podendo até haver novas espécies.

Apesar de vários estudos mostrarem que a elevação é um fator fundamental na distribuição de espécies ao decorrer das altitudes (HEATWOLE, 1982, GRAHAM, 2014, JANZEN, 1973, TERBORGH, 1977, RAHBEK, 2004, LAURÊNCIO; FITZGERALD, 2010, LEMCKET; MAHONY, 2010, PHOCHAYAVANICH *et al.*, 2010, HU *et al.*, 2011), os dados do presente trabalho não foram suficientes para concordar com essa fundamentação. Porém, pode-se perceber que embora a elevação não tenha apresentado diferença significativa, a área intermediária localizada entre 150 e 280 metros é onde ocorre o maior pico de espécies e indivíduos presentes.

Assim, corrobora-se a hipótese de que existe um padrão onde a variação da riqueza de espécies é quase horizontal até certa altitude antes de declinar, rejeitando em partes, a premissa inicial de Whittaker (1973), que diz que há um decréscimo da riqueza na medida

em que ocorre a elevação da altitude local, padrão conhecido como monotônico. Entretanto, é possível inferir que o padrão da vegetação do local vária de acordo com a altitude, e nos pontos mais elevados a formação vegetal é formado por vegetação rasteira, o que inviabiliza o crescimento de liquens corticícolas já que a sua presença em um ambiente é dependente da presença de um substrato, no caso de serem corticícolas as árvores e arbustos.

É importante destacar que o esforço amostral, mesmo apresentando valores elevados, não foi suficiente para evidenciar a verdadeira riqueza de liquens na área estudada. Como apresentado na curva de acumulação, a curva acentua e apresenta uma estabilidade, porém a extrapolação prevista é quase o dobro do que foi obtido no presente estudo. O que implica em diferentes possibilidades: (i) a amostragem obtida reflete diretamente a forma de coleta, e pode ser inferido que coletas realizadas em segmento/transecto/área de cobertura, os liquens obtidos refletem uma boa cobertura dentro de um raio próximo aos pontos coletados; (ii) devido ao método de coleta os dados não podem ser considerados como um padrão da composição dos liquens em todo o parque, e sim o reflexo de um recorte; (iii) novas coletas precisam ser realizadas em diferentes pontos dentro do parque.

7 CONCLUSÃO

Dentre as 259 amostras coletadas, 90 espécies foram identificadas, onde 27 espécies identificadas são novos registros para o PARNASI, totalizando 526 espécies conhecidas até o presente momento.

Os dados estatísticos apresentados mostraram que a luminosidade é um fator síntese para essa área. Como resultado da curva de acumulação, uma vez que o platô não foi alcançado ou extrapolado, faz se necessário a realização de novas coletas, e como possibilidade destaca-se a opção de explorar novos pontos de coleta dentro do PARNASI, para que a riqueza desse espaço seja mensurada.

Entretanto, o objetivo central do trabalho foi verificar se a altitude influenciava na composição das espécies, o que não pode ser verificado com exatidão, fazendo-se necessários mais estudos. Uma possibilidade de investigação é compreender a relação de influência da DAP, da luminosidade, e da altitude na distribuição dessas espécies, já que possa existir a influência de correlação entre esses fatores. Ainda é preciso investigar a formação de cada subgrupo que foi gerado nos cluster, buscando observar o padrão das comunidades que foram agrupadas, o que implica dizer que talvez exista um outro viés

para avaliar a relação de distribuição dessas espécies em função a esses fatores ambientais.

Por fim, entender a composição da liquenobiota, em regiões elevadas ou não, ainda é um processo que requer tempo, dedicação e investimento na realização desses estudos. Além disso, se faz necessária a identificação de espécies de regiões tropicais, em especial da Mata Atlântica e da Caatinga, para que possamos conhecer a biodiversidade destes espaços.

REFERÊNCIAS

AB'SÁBER, A. N. Participação das depressões periféricas e superfícies aplainadas na compartimentação do planalto brasileiro - considerações finais e conclusões. **Revista do Instituto Geológico**, v. 19, n. 1-2, p. 51–69, 1998.

AHMADJIAN, V. **The lichen symbiosis**. New York; Chichester; Brisbane: J. Wiley, Cop, 1993.

ALMEIDA-NETO, M. *et al.* Harvestman (Arachnida: Opiliones) species distribution along three Neotropical elevational gradients: an alternative rescue effect to explain Rapoport's rule? **Journal of Biogeography**, v. 33, n. 2, p. 361–375, fev. 2006.

ANÁLISE ESPAÇO-TEMPORAL DO FOGO NO BIOMA CAATINGA Greicielle dos Santos Vieira Brasília, 07 de maio de 2021. [s.l: s.n.]. Disponível em: https://bdm.unb.br/bitstream/10483/28841/1/2021_GreicielleDosSantosVieira_tcc.pdf >. Acesso em: 13 maio. 2023

ANDRADE, D. S. Efeitos de borda sobre assembleias de liquens corticícolas crostosos em área de mata atlântica, no nordeste do Brasil. 2015. Dissertação de mestrado em Ecologia e Conservação, Universidade Federal de Sergipe - São Cristóvão, Sergipe, 2015.

ASPLUND, J.; WARDLE, D. A. How lichens impact on terrestrial community and ecosystem properties. **Biological Reviews**, v. 92, n. 3, p. 1720–1738, 11 out. 2016.

ASTA, J. et al. European guideline for mapping lichen diversity as indicator of environmental stress. **British Lichen Society**, London, 2002.

BASELGA, A. Partitioning the turnover and nestedness components of beta diversity. **Global Ecology and Biogeography**, Malden, v. 19, p. 134–143, out. 2009.

BRASIL. Lei n° 11.428, de 22 de dezembro de 2006. Dispõe sobre a utilização e proteção da vegetação nativa do Bioma Mata Atlântica, e dá outras providências. **Planalto do Governo**: seção 1, Brasília, DF, ano 185° da Independência e 118° da República. Disponível em: https://www.planalto.gov.br/ccivil_03/_ato2004-2006/2006/lei/111428.htm. Acessado em: 05 dez. 2022.

CÁCERES, M. E. S. 2007. Corticolous crustose and microfoliose lichens of northeastern Brazil. Edição 1. Libri Botanic. Jan. de 2007.

CÁCERES, M.E.S.; LÜCKING. R.; RAMBOLD. G. Phorophyte specificity and environmental parameters versus stochasticity as determinants for species composition of corticolous crustose lichen communities in the Atlantic rain forest of northeastern Brazil. **Mycological Progress** v. 6, n. 3, p. 117–136, 22 jun. 2007.

CALLAWAY, R. M *et al.* FACILITAÇÃO E COMPETIÇÃO EM GRADIENTES EM COMUNIDADES DE PLANTAS ALPINAS. **Ecology**, v. 82, ed. 12, pag 3295 – 3308, 2001.

CHAO, A.; MA, K.H.; HSIEHs, T.C. Inext (iNterpolation and EXTrapolation) Online: Software for interpolation and Extrapolation of species diversity. 2016. Code, v. 30043, p. 1-14.

COSTAS, D. M. Diversidad y Composición de las comunidades de líquenes en un gradiente altitudinal en la Sierra de Famatina (La Rioja). Centro de Ecología y Recursos Naturales Renovables "Dr. R. Luti", FCEFyN – UNC. Universidad Nacional de Córdoba, 2018.

COLWELL, R.K.; LEES, D.C. 2000. The mid-domain effect: geometric constraints on the geography of species richness. *Trends in Ecology and Evolution*, 15: p. 70-76.

CRAWLEY, M. J. The R book. John Wiley & Sons, Ltd—2e. ISBN 978-0-470-97392-9. Imperial College London at Silwood Park, UK. 2013.

DANTAS, T. V. P. Parque Nacional Serra de Itabaiana: Caracterização, Estrutura e Conservação da Vegetação. São Cristóvão: UFS. 94p. 2008.

DANTAS, T. V. P.; RIBEIRO, A. D. S. Caracterização da vegetação do Parque Nacional Serra de Itabaiana, Sergipe – Brasil. **Biotemas**, p. 9–18, 2010.

FITZPATRICK M. C. *et al.* Environmental and historical imprints on beta diversity: insights from variation in rates of species turnover along gradients. **Proceedings of The Royal Society B**, London, v. 280 n. 1768, out. 2013.

FLETCHER. THOMAS. D. QuantPsyc: Quantitative Psychology tools. R package version 1.6. 2022. URL: https://CRAN.R-project.org/package=QuantPsyc.

FOX, J.; WEISBERG, S. An R Companion to Applied Regression. [s.l.] SAGE Publications, 2018.

GASTON, K. J.; BLACKBURN, T. M. Pattern and process in macroecology. Blackwell Science, Oxford, Oxford University, 2000.

GAUSLAA, Y. et al. Growth of epiphytic old forest lichens across climatic and successional gradients. **Canadian Journal of Forest Research**, v. 37, n. 10, p. 1832–1845, out. 2007.

GENTRY, A. H. Changes in Plant Community Diversity and Floristic Composition on Environmental and Geographical Gradients. Annals of the Missouri Botanical Garden, 75(1), p. 1–34. 1988.

GERHOLD, P. *et al.* Phylogenetic patterns are not proxies of community assembly mechanisms (they are far better). **Functional Ecology**, v. 29, n. 5, p. 600–614, 1 maio 2015.

GIORDANI, P *et al.* Functional traits of epiphytic lichens as potential indicators of environmental conditions in forest ecosystems. **Ecological Indicators**, v. 18, p. 413-420, jul. 2012.

GRAHAM, C. H. *et al.* The origin and maintenance of montane diversity: integrating evolutionary and ecological processes. **Ecography**, v. 37, n. 8, p. 711–719, 1 ago. 2014.

HADLEY, W *et al.* dplyr: **A Grammar of Data Manipulation**. R package version 1.1.0. 2023. https://CRAN.R-project.org/package=dplyr.

HALE, M. E. The Biology of lichens. 3. ed. Edward Arnold (ed.). London. 1983.

HIBBETT, D. S *et al.* A higher-level phylogenetic classification of the *Fungi*. **Mycological Research**, v. 111, n. 5, p. 509-547, maio 2007.

HU, J. *et al.* Elevational Patterns of Species Richness, Range and Body Size for Spiny Frogs. **PLoS ONE**, v. 6, n. 5, p. e19817, 17 maio 2011.

IBGE- INSTITUTO BRASILEIRO DE GEOGRAFIA E ESTATÍSTICA. **Produto Interno Bruto (PIB)**. Rio de Janeiro: IBGE, 2020.

ICMBio - Instituto Chico Mendes de Conservação e Biodiversidade. Plano de Manejo do Parque Nacional Serra de Itabaiana. Brasília, 2016.

JARI, O. *et al.* vegan: Community Ecology Package. R package version 2.5-7. 2020. URL: https://CRAN.R-project.org/package=vegan

JOHN, F.; SANFORD, W. An {R} Companion to Applied Regression, Third Edition. Thousand Oaks CA: Sage. 2019.

JOLY, C. A.; METZGER, J. P.; TABARELLI, M. Experiences from the Brazilian Atlantic Forest: ecological findings and conservation initiatives. **New Phytologist**, v. 204, n. 3, p. 459–473, 10 set. 2014.

KÄFFER, M. I. *et al.* Use of bioindicators to evaluate air quality and genotoxic compounds in an urban environment in Southern Brazil. **Environmental Pollution**, v. 163, p. 24–31, abr. 2012.

KASSAMBARA, A. (2021) **rstatix: Pipe-Friendly Framework for Basic Statistical Tests**. Disponível em: https://cran.r-project.org/package=rstatix.

KFOURI, A.; GARCIA, E. **Mata Atlântica: as ameaças ao bioma e possíveis caminhos para restaurá-lo**. 2021. Disponível em: https://revistagalileu.globo.com/Ciencia/Meio-Ambiente/noticia/2021/05/mata-atlantica-ameacas-ao-bioma-e-possiveis-caminhos-para-restaura-lo.html>.

KÖRNER, C. Concepts in empirical plant ecology. **Plant Ecology & Diversity**, v. 11, n. 4, p. 405–428, 4 jul. 2018.

KÖRNER, C. The use of "altitude" in ecological research. **Trends in Ecology & Evolution**, v. 22, n. 11, p. 569–574, nov. 2007.

KOTTEK, M. *et al.* World Map of the Köppen-Geiger climate classification updated. **Meteorologische Zeitschrift**, v. 15, n. 3, p. 259–263, 10 jul. 2006.

KREBS, C. J. **Ecological methodology**, 2°ed. Benjaming Cummings, San Francisco. 1989.

KROG, H; SWINSCOW, T.D.V. Parmelia subgenus Amphigymnic in East Africa. Bulletin of the British Museum (Natural History) **Botany series** 9 (3): p. 143-231, 1981.

LAIOLO, P.; PATO, J.; OBESO, J. R. Ecological and evolutionary drivers of the elevational gradient of diversity. **Ecology Letters**, v. 21, n. 7, p. 1022–1032, 2 maio 2018.

LAKATOS, M.; RASCHER, U.; BÜDEL, B. Functional characteristics of corticolous lichens in the understory of a tropical lowland rain forest. **New Phytologist**, v. 172, n. 4, p. 679–695, 7 set. 2006.

LAURENCIO, D.; FITZGERALD, L. A. Environmental correlates of herpetofaunal diversity in Costa Rica. **Journal of Tropical Ecology**, v. 26, n. 5, p. 521–531, 2010.

LEMCKERT, F.; MAHONY, M.J. The relationship among multiple-scale habitat variables and pond use by anurans in northern New South Wales, Australia. *Herpetological Conservation Biology*, 5: p. 537-547. 2010.

LEWIS, J. E. J.; ELLIS, C. J. Taxon- compared with trait-based analysis of epiphytes, and the role of tree species and tree age in community composition. **Plant Ecology & Diversity**, v. 3, n. 2, p. 203–210, 26 nov. 2010.

LEHMKUHL, J. F. Epiphytic lichen diversity and biomass in low-elevation forests of the eastern Washington Cascade range, USA. **Forest Ecology and Management**, v. 187, n. 2-3, p. 381–392, jan. 2004.

LIEBERMAN, D. *et al.* Tropical Forest Structure and Composition on a Large-Scale Altitudinal Gradient in Costa Rica. **The Journal of Ecology**, v. 84, n. 2, p. 137, abr. 1996.

LÜCKING, R.; ARCHER, A. W.; APTROOT, A. A world-wide key to the genus *Graphis* (*Ostropales*: *Graphidaceae*). **Lichenologist**, v. 41, n. 4, p. 363–452, 1 jul. 2009.

MAECHLER, M. et al. cluster: Cluster Analysis Basics and Extensions. R package version 2.1.2. 2022.

MAINTAINER, P.; APHALO. scales (>= 1.2.0), rlang (>= 1.0.0), generics (>= 0.1.2), MASS (>= 7.3-51.6), confintr (>= 0.1.2), polynom (>= 1.4-0), quantreg (>= 5.93). [s.l: s.n.]. Disponível em: https://cran.r-project.org/web/packages/ggpmisc/ggpmisc.pdf>. Acesso em: 12 maio. 2023.

MARCELLI, M. P. Estudo da diversidade de espécies de fungos liquenizados do Estado de São Paulo. **Instituto de Botânica, Seção de Micologia e Liquenologia**, p. 27. Versão preliminar de 1997.

MARCELLI, M. P. Fungos liquenizados. **Biologia de Liquens**. Rio de Janeiro: Âmbito Cultural. p. 23-74. 2006.

MARIANO, D. A. *et al.* Use of remote sensing indicators to assess effects of drought and human-induced land degradation on ecosystem health in Northeastern Brazil. **Remote Sensing of Environment**, v. 213, p. 129–143, ago. 2018.

MARINI, L.; NASCIMBENE, J.; NIMIS, P. L. Large-scale patterns of epiphytic lichen species richness: Photobiont-dependent response to climate and forest structure. **Science of The Total Environment**, v. 409, n. 20, p. 4381–4386, set. 2011.

MARTINELLI, G; MORAES, M. A. **Livro vermelho da Flora do Brasil.** 1. ed. - Rio de Janeiro. Instituto de Pesquisas Jardim Botânico do Rio de Janeiro. 1102p, 2013.

MCCAIN, C. M.; GRYTNES, J.-A. Elevational Gradients in Species Richness. **Encyclopedia of Life Sciences**, p. 1-10. 15 set. 2010.

MMA - Ministério do Meio Ambiente. Instituto Brasileiro do Meio Ambiente e dos Recursos Naturais Renováveis. Estudos prévios para a criação do Parque Nacional do Domo de Itabaiana-SE. IBAMA, novembro, 2004, 106p.

MOREIRA, F. D *et al.* USO DE LIQUENS COMO BIOINDICADORES DA QUALIDADE DO AR EM CENTRO URBANO, JUIZ DE FORA, MG. 6° Simpósio de Gestão Ambiental e Biodiversidade, Juiz de Fora-MG. 2017.

MOLNÁR, K.; FARKAS, E. Current Results on Biological Activities of Lichen Secondary Metabolites: a Review. **Zeitschrift für Naturforschung C**, v. 65, n. 3-4, p. 157–173, 1 abr. 2010.

NASH, T. H. Introduction. **Lichen Biology**. Cambridy University Press. 3. ed. pag. 1-7. 1996.

NAVAS, C. A. Herpetological diversity along Andean elevational gradients: links with physiological ecology and evolutionary physiology. **Comparative Biochemistry and Physiology Part A: Molecular & Integrative Physiology**, v. 133, n. 3, p. 469–485, nov. 2002.

NELDER, J. A.; WEDDERBURN, R. W. M. Generalized Linear Models. Rothamsted Experimental Station, Harpenden, Herts. Search for more papers by this author. First published: 1972. 135, Part 3, p. 370.

NOGUÉS-BRAVO, D. *et al.* Scale effects and human impact on the elevational species richness gradients. **Nature**, v. 453, n. 7192, p. 216–219, maio 2008.

OKSANEN, J. F. *et al.* (2020). vegan: Community Ecology Package. R package version 2.5-7. URL: https://CRAN.R-project.org/package=vegan

PAGLIA, A. P; PINTO, L.P. Biodiversidade da Mata Atlântica. In: E. Marone, D. Riet, & T. Melo (Orgs.). **Brasil Atlântico - um país com a raiz na mata**. Rio de Janeiro: Instituto BioAtlântica, p. 102-129, 2010.

PARDOW, A.; HARTARD, B.; LAKATOS, M. Morphological, photosynthetic and water relations traits underpin the contrasting success of two tropical lichen groups at the interior and edge of forest fragments. **AoB PLANTS**, v. 2010, 1 jan. 2010.

PAVOINE, S.; BONSALL, M. B. Measuring biodiversity to explain community assembly: a unified approach. **Biological Reviews**, v. 86, n. 4, p. 792–812, 14 dez. 2010.

PETCHEY, O. L.; GASTON, K. J. Functional diversity: back to basics and looking forward. **Ecology Letters**, v. 9, n. 6, p. 741–758, jun. 2006.

PHOCHAYAVANICH, R. *et al.* Comparison of stream frog assemblages at three elevations in an evergreen forest, North-Central Thailand. *Zoological Studies*, n. 49, p. 632-639. 2010.

QIAN, H.; RICKLEFS, R. E.; WHITE, P. S. Beta diversity of angiosperms in temperate floras of eastern Asia and eastern North America. **Ecology Letters**, v. 8, n. 1, p. 15–22, 20 out. 2004.

RAHBEK, C. The elevational gradient of species richness: a uniform pattern? **Ecography**, v. 18, n. 2, p. 200–205, jun. 1995.

RAHBEK, C. The role of spatial scale and the perception of large-scale species-richness patterns. **Ecology Letters**, v. 8, n. 2, p. 224–239, 17 dez. 2004.

R Core Team (2021). R: A language and environment for statistical computing. R Foundation for Statistical Computing, Vienna, Austria. URL https://www.R-project.org/.

REDINGER, K. Die Graphidineen der ersten Regnell'schen Expedition nach Brasilien 1892-94. IV. Opegrapha. **Arliv för Botanik**. p. 1-52, 1940.

REVELLE, W. psych: Procedures for Personality and Psychological Research, Northwestern University, Evanston, Illinois, USA. 2021.

RICOTTA, C. A note on functional diversity measures. **Basic and Applied Ecology**, v. 6, n. 5, p. 479–486, out. 2005.

RIVAS PLATA, E *et al.* A first assessment of the Ticolichen biodiversity inventory in Costa Rica: the genus Coenogonium (Ostropales: Coenogoniaceae), with a world-wide key and checklist and a phenotype-based cladistic analysis. **Fungal Diversity** 23: p. 255-321, 2006.

RODRIGUES, J. M. *et al.* Small shifts in microsite occupation could mitigate climate change consequences for mountain top endemics: a test analyzing saxicolous lichen distribution patterns. **Biodiversity and Conservation**, v. 26, n. 5, p. 1199–1215, 17 jan. 2017.

ROMDAL, T. S.; GRYTNES, J.-A. An indirect area effect on elevational species richness patterns. **Ecography**, v. 30, n. 3, p. 440–448, jun. 2007.

SANDERS, N. J.; RAHBEK, C. The patterns and causes of elevational diversity gradients. **Ecography**, v. 35, n. 1, p. 1–3, jan. 2012.

SANTOS, H. G *et al.* **Sistema Brasileiro de Classificação de Solos.** 3ª ed rev. Ampl. Brasília, DF: Embrapa. 353p.il. color. 2013.

SAUNDERS, D. A.; HOBBS, R. J.; MARGULES, C. R. Biological Consequences of Ecosystem Fragmentation: A Review. **Conservation Biology**, v. 5, n. 1, p. 18–32, 1991.

SCARANO, F. R; CEOTTO, P. A importância da biodiversidade brasileira e os desafios para a conservação, para a ciência e para o setor privado. **Floresta Atlântica de Tabuleiro: Diversidade e Endemismos na Reserva Natural Vale**, Cap. 29. Editora Rona, p. 483-495, 2015.

SOBRAL, I. S. *et al.* AVALIAÇÃO DOS IMPACTOS AMBIENTAIS NO PARQUE NACIONAL SERRA DE ITABAIANA - SE. **Caminhos de Geografia**, v. 8, n. 24, p. 102–110, 14 dez. 2007.

STAJICH, J. E. *et al.* Primer -- The Fungi. **Current biology : CB**, v. 19, n. 18, p. R840–R845, 29 set. 2009.

VALGAS, A. *et al.* Macroecologia de Icterinae (Aves: Passeriformes): Efeito Rapoport e modelos nulos de distribuição geográfica. **Ararajuba**, v. 11, n. 1, p. 57–64, [s.d.].

VELOSO, H. P. *et al.* Classificação da vegetação brasileira, adaptada a um sistema universal. Rio de Janeiro: IBGE. 1991.

STEVENS, G. C. The Elevational Gradient in Altitudinal Range: An Extension of Rapoport's Latitudinal Rule to Altitude. **The American Naturalist**, v. 140, n. 6, p. 893–911, dez. 1992.

TENÓRIO, J. G. *et al.* Mixobiota do Parque Nacional Serra de Itabaiana, SE, Brasil: Stemonitales. **Acta Botanica Brasilica**, v. 23, n. 3, p. 644–656, set. 2009.

WEBSTER, J; WEBER, R. **Introduction to Fungi**. [s.1.] Third Edition. Cambridge University Press. 875p, 2007.

WHITTAKER, R. H. **Produção Primária: A Biosfera e o Homem**. Ecologia Humana, 1, p. 357-369. 1973.

WICKHAM, H. ggplot2: Elegant Graphics for Data Analysis. Springer-Verlag New York, 2016.

WILLIG, M. R.; BLOCH, C. P. Latitudinal gradients of species richness: a test of the geographic area hypothesis at two ecological scales. **Oikos**, v. 112, n. 1, p. 163–173, jan. 2006.

ZEILEIS, A.; HOTHORN, T. (2002). Diagnostic Checking in Regression Relationships. R News 2(3), p. 7-10. URL: https://CRAN.R-project.org/doc/Rnews